

**157228**

T.C  
OSMANGAZİ ÜNİVERSİTESİ  
SAĞLIK BİLİMLERİ ENSTİTÜSÜ  
İMÜNO-HEMATOLOJİ BİLİM DALI

**HLA B 27 ANTİJENİNİN SAPTANMASINDA AKIM SİTOMETRİ,  
REAL TIME PCR VE KONVANSİYONEL SSP-PCR  
METOTLARININ KARŞILAŞTIRILMASI**

**YÜKSEK LİSANS TEZİ**

**HATİCE BAŞYİĞİT**

**TEZ DANİŞMANI  
PROF. DR. ZAFER GÜLBAŞ**

**EKİM 2004**

## KABUL VE ONAY SAYFASI

Hatice BAŞYİĞİT'in Yüksek Lisans Tezi olarak hazırladığı "HLA-B27 Antijeninin Saptanmasında Akım Sitometri, Real Time PCR ve Konvansiyonel SSP-PCR Metodlarının Karşılaştırılması" başlıklı bu çalışma, jürimiz Lisansüstü Öğretim Yönetmeliği'nin ilgili maddeleri uyarınca değerlendirilerek kabul edilmiştir.

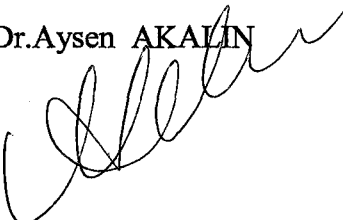
09.11.2004

  
Prof.Dr.Yurdanur AKGÜN  
ÜYE

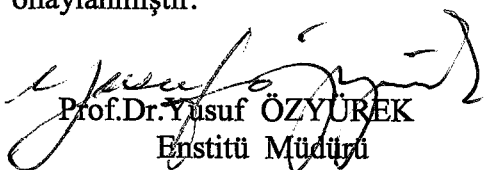
  
Prof.Dr.Zafer GÜLBAŞ  
ÜYE

  
Prof.Dr.Sevilhan ARTAN  
ÜYE

  
Doç.Dr.Cengiz KORKMAZ  
ÜYE

  
Doç.Dr.Aysen AKALIN  
ÜYE

Osmangazi Üniversitesi Sağlık Bilimleri Enstitüsü Yönetim Kurulu'nun  
23.11.2004.. gün ve 626./180.L... sayılı kararıyla onaylanmıştır.

  
Prof.Dr.Yusuf ÖZYUREK  
Enstitü Müdürü

## İÇİNDEKİLER

ŞEKİLLER DİZİNİ	1
TABLOLAR DİZİNİ	2
KISALTMALAR	3
ÖZET	4
SUMMARY	5
GİRİŞ VE AMAÇ	6
GENEL BİLGİLER	7
1)HLA MAJÖR DOKU UYGUNLUK KOMPLEKS İ(HLA-MHC)	7
<u>1-a) HLA-Tarihçe</u>	7
<u>1-b) HLA Moleküllerinin Yapısı Fonksiyonu ve Dokuda Dağılımı.</u>	8
Sınıf I	9
Sınıf II	10
Sınıf III	12
<u>1-c HLA Saptama Yöntemleri</u>	13
<u>1-c-1) Akım Sitometri ile HLA Antijenlerinin Saptanması</u>	13
<u>1-c-2) Real-Time PCR Yöntemiyle HLA Saptanması</u>	14
<u>1-c-3) Konvensiyel SSP-PCR Yöntemiyle HLA Saptanması</u>	17
<u>1-c-4) Serolojik Yöntemle HLA Saptanması</u>	17
<u>1-c-5) HLA Saptanmasında Kullanılan Diğer Yöntemler</u>	18
PCR Methodu	18
Heteroduplekx Metod	18
SSCP Metodları	18
<u>1-d) HLA ve Hastalık İlişkisi</u>	19
2-HLA-B27 HASTALIK İLİŞKİSİ	24
3-HLA-B27 SAPTAMA YÖNTEMLERİ	27
<u>3-a) Akım Sitometri ile HLA -B27 Saptanması</u>	27
<u>3-b) Real Time PCR ile HLA ile HLA-B27 Saptanması</u>	28
<u>3-c) Konvansiyel SSP- PCR ile HLA-B27 Saptanması</u>	29
4-HLA-B27 SAPTAMA YÖNTEMLERİNİN KARŞILAŞTIRILMASI	29

<u>4-1) Akım Sitometri ile Real-Time PCR Yöntemlerinin Karşılaştırılması</u>	<b>29</b>
<u>4-2) Akım Sitometri ile Konvansiyel SSP- PCR Yöntemlerinin Karşılaştırılması</u>	<b>30</b>
<u>4-3)Real-Time PCR ile Konvansiyel SSP- PCR Yöntemlerinin Karşılaştırılması</u>	<b>30</b>
<b>YÖNTEM VE GEREÇLER</b>	<b>31</b>
<u>1-Akım Sitometri Yöntemi ile HLA-B27 Çalışılması</u>	<b>31</b>
<u>2-Real-Time PCR Yöntemi ile HLA-B27 Çalışılması</u>	<b>32</b>
<u>3-Konvansiyel SSP-PCR Yöntemi ile HLA-B27 Çalışılması</u>	<b>35</b>
<b>BULGULAR</b>	<b>38</b>
<b>TARTIŞMA</b>	<b>52</b>
<b>SONUÇ</b>	<b>56</b>
<b>KAYNAKLAR</b>	<b>57</b>
<b>ÖZGEÇMİŞ</b>	<b>60</b>

## **ŞEKİLLER DİZİNİ**

<b>Şekil 1.</b> MHC Majör Doku Uygunluk Kompleksi.	<b>12</b>
<b>Şekil 2.</b> MHC Sınıf I ve Sınıf II Moleküllerinin Şematik Yapısı.	<b>13</b>
<b>Şekil 3.</b> Akım Sitometride HLA-B27 Negatif Olgudaki Hücre Dağılımı.	<b>41</b>
<b>Şekil 4.</b> Akım Sitometride HLA-B27 Pozitif Olgunun Hücre Dağılımı.	<b>42</b>
<b>Şekil 5.</b> Akım Sitometride HLA-B7 Alleli Olan Olguların Hücre Dağılımı.	<b>42</b>
<b>Şekil 6.</b> Akım Sitometride HLA-B27 Analizindeki Şüpheli Dağılım.	<b>43</b>
<b>Şekil 7.</b> Real Time PCR’ da HLA-B27 Pozitif Olguların Analizi.	<b>44</b>
<b>Şekil 8.</b> Real Time PCR’ da Pozitif Kontrol ve Negatif Olguların Analizi.	<b>45</b>
<b>Şekil 9.</b> Konvansiyonel SSP- PCR’ da HLA-B27 Pozitif Olgunun jeli	<b>46</b>
<b>Şekil 10.</b> Konvansiyonel SSP- PCR’ da HLA-B27 Negatif Olgunun Jeli ve Bilgisayar Analizi	<b>47</b>
<b>Şekil 11.</b> Konvansiyonel SSP- PCR’ da HLA-B7 Bulunan Olgunun Jeli ve Bilgisayar Analizi	<b>48</b>
<b>Şekil 12.</b> Konvansiyonel SSP- PCR’ daki Pozitif olguların Akım Sitometri ve Real Time PCR’ Elde Edilen Sonuçların Grafiği.	<b>51</b>
<b>Şekil 13.</b> Konvansiyonel SSP-PCR’ daki Negatif olguların Akım Sitometri ve Real Time PCR’ Elde Edilen Sonuçların Grafiği.	<b>51</b>

## TABLolar

<b>Tablo 1.</b> MHC Sisteminin Dokulardaki Dağılımı	13
<b>Tablo 2.</b> MHC Sisteminin Hastalık İlişkileri.	23
<b>Tablo 3.</b> Sensivite, Spesifite, Pozitif Prediktif ve Negatif Prediktif Değerlerini Hesaplama Tablosu	36
<b>Tablo 4.</b> Akım Sitometri, Real Time PCR ve Konvansiyonel SSP-PCR Olgu Sonuçları.	39
<b>Tablo 5.</b> Real Time PCR ile Konvansiyonel SSP- PCR sonuçlarının karşılaştırılması	49
<b>Tablo 6.</b> Akım Sitometri ile Konvansiyonel SSP-PCR sonuçlarının karşılaştırılması	49
<b>Tablo 7.</b> Hücre Yüzeyindeki HLA-B27 Ekspresyonlarının (B27 Pozitif) , (B27 Şüpheli Pozitif / B7 Pozitif), (B27 Negatif / B7 Negatif) Hasta Gruplarında Karşılaştırılması.	50

## KISALTMALAR

- AS** : Ankilozan Spondolit
- dNTP** : Deoksiribonükleik Asit Trifosfat
- EDTA** : Etilen Diamin Tetraasetik Asit
- HLA** : Human Lökosit Antijen
- MHC** : Majör Histocompatibility Complex (Büyük doku uygunluk kompleksi)
- MIC** : MHC class I heavy chain related genes
- PBS** : Fosfat Buffer tuzu
- PCR** : Polimeraz Zincir Reaksiyonu
- R.A** : Romataid Artrit
- ROC** : Receiver Operoing Characteristics curve ( Hasta ve sağlam bireylerin doğru olarak ayıran belirli bir kesim noktasını alarak tanımlarda kullanılan eğri)
- SSA** : Sekans Spesifik Allel
- SSP-PCR** : Sekans Spesifik Primer (Diziye Özgü Primerler ve PCR Amplifikasiyonu)
- TBE** : Tris-Borat-EDTA
- Taq** : Thermus aquaticus
- UV** : Ultraviole

## ÖZET

HLA-B27 Ankilozan Spondilit (AS) ile sık olarak birliktedir ve HLA-B27 antijeni Ankilozan spondolitin önemli bir genetik markıdır. HLA-B27 rutin olarak serolojik metotlarla tiplendirilmektedir. Ancak yalancı pozitif neticeler bildirilmiştir. Bu yüzden HLA-B27 genotiplemesi için daha güvenilir birçok moleküler metotlar geliştirilmiştir. Biz bu çalışmamızda HLA-B27 saptanması için Real Time PCR metodunu araştırdık ve bu metotla akım sitometri ve konvansiyonel SSP-PCR metodlarını karşılaştırdık. Çalışmamızda SSP-PCR rutin HLA tiplemesi yapılan 60 olguya (33 olgu HLA-B27 pozitif, 27 olgu HLA-B27 negatif) bu metotlarla araştırdık.

Akım sitometri ile 3 olguda yalancı pozitiflik saptanırken yalancı negatif olgu görülmedi. Real Time PCR da 4 yalancı pozitif olgu görülürken hiç yalancı pozitif olgu saptanmadı. Akım sitometri ile HLA-B27 testinin spesifitesi % 89 sensitivitesi % 100 bulunmuştur. Real Time PCR ile HLA-B27 testinin spesifitesi % 100 , sensitivitesi % 88 saptanmıştır.

Bulgularımız Real Time PCR testinin HLA-B27 tiplendirilmesinde rutinde güvenli olarak kullanılabilceğini ve akım sitometri ile HLA-B27' si şüpheli pozitif olgularda kullanılması gerektiğini göstermiştir. HLA-B27 saptanmasında Real Time PCR metodu laboratuardaki büyük sayıdaki örneklerin rutin analizinde güvenle kullanılabilir.

**Anahtar Kelimeler : Ankilozan Spondilit, HLA-B27 Antijeni, Akım Sitometri, Real Time-PCR, SSP -PCR**

## SUMMARY

HLA-B27 is strongly associated with ankylosing spondylitis (AS) and The HLA-B27 antigen is an important genetic marker in AS . As typing for HLA-B27 is routinely performed by serological methods, false-positive results can be generated. Therefore, several more accurate molecular methods have been developed for HLA-B27 genotyping. We described a real-time PCR method for the detection of the HLA-B27 and this method were compared with a flow cytometry and conventional SSP-PCR methods.

We tested this methods on 60 subjects (33 HLA-B27 positive and 27 HLA-B27 negative) who underwent routine HLA typing testing by SSP-PCR. 3 false positive and no negative results were observed by flow cytometry. 4 false negative and no false positive results were detected by Real Time PCR. The specificity and sensitivity of HLA-B27 test with flow cytometry were 89 % and 100 %. The specificity and sensitivity of HLA-B27 test with Real Time PCR were 100 % and 88 % .

Our results suggest that; Real Time PCR test for HLA-B27 typing can be used safely in routine practice and it should be used for doubt positive cases by detected flow cytometry as HLA-B27 positive. Real Time-PCR method for the detection of HLA-B27 can be used safely for the routine analysis of large numbers of samples in the laboratory.

**Keywords:** Ankylosing spondylitis; HLA-B27 antigen; Flow cytometry; Real Time-PCR; SSP-PCR

## **GİRİŞ VE AMAÇ :**

HLA-B27 Antijeni; (AS) Ankilozan Spondilit, (R.A) Reaktif Artrit, psoriazis inflamatuar barsak hastalığı, seronegatif oligoartropati hastalıklarıyla ilişkilidir. Bu nedenle HLA-B27 Antijeninin tespit edilmesi bu hastalıkların tanısında önemlidir.

HLA antijenleri 6. kromozomun kısa kolu üzerinde bulunmaktadır (14). HLA-A-B-C-DR-DP ve DQ lokuslarında farklı HLA (Human Lokosit Antijeni) antijenleri bulunmaktadır. HLA-B27 antijeni B lokusunda olup 4 santimorgan uzunluğunda ve yaklaşık 4 Mbp' lik bir yer kaplamıştır (24).

HLA-B 27 Antijenini saptamada farklı yöntemler kullanılmaktadır. HLA-B27 antijeninin saptanmasında kullanılacak yöntemin hızlı, tekrarlanabilir, güvenilir metot olması gerekmektedir. HLA-B27 bakılmasında; akım sitometri, Real Time PCR ve konvansiyonel SSP-PCR (Sekans spesifik primer-Polimerize Zincir Reaksiyonu) yöntemi kullanılmaktadır. Akım sitometri ile hızlı netice alınmasına karşın bazı olgularda pozitiflik-negatiflik ayrimında sorunlar çıkmaktadır. Sorun çıkışının nedeni HLA-B27' ye karşı kullanılan monoklonal antikorların diğer HLA antijenleri ile çapraz reaksiyon vermesidir.

Konvansiyonel SSP- PCR yöntemi ile çalışma pahalı olup zaman almaktadır. Yeni bir yöntem olan Real Time PCR, konvansiyonel SSP- PCR' a göre hızlı netice veren bir metottur ve akım sitometre ile HLA-B27 şüpheli pozitif bulanan olgularda kullanılabilir bir yöntem olarak görülmektedir (30).

Biz bu çalışmamızda HLA-B27 antijeni saptanmasında akım sitometri ile elde edilen sonuçları Real Time PCR ve konvansiyonel SSP-PCR sonuçlarıyla karşılaştırmayı ve bu sonuçların birbiriyle olan uyumunu saptamayı amaçladık.

## **GENEL BİLGİLER**

### **1-HLA- MAJÖR DOKU UYGUNLUK KOMPLEKSİ (HLA-MHC)**

#### **1-a) HLA-Tarihçe :**

HLA kompleksinin varlığı 1950 yıllarda düşünülmeye başlanmıştır (2,14,28). Dausset, Payne, Jan Rood ilk olarak lösemik olarak sürekli tekrarlanan kan transfüzyonlarına ihtiyaç duyulan olgularda, beyaz küreleri aglütine eden antikorların gelişliğini gözlemlemiştir. Kısa bir süre sonra aglütine edici özelliği olan antikorların multipar kadınların %20 ile %30' da olduğu saptanmıştır. Bulunan bu antikorlar, bazı kişilerin beyaz kürelerini aglütine ederken bazılarını etmemiştir. Farklı antiserumlar farklı olguların beyaz kürelerini aglütine etmiştir. Bu antiserumların alloantijenleri saptamış olduğu düşünülmüştür (3,24,28).

1967 yılında histokompatibilite抗原lerinin sınımlenmesinde bir anlaşmaya varılarak ‘insan lökositleri’ anlamına gelen ‘HLA’ denilmiştir. Bu抗原ler ilk kez 1979 yılında monoklonal antikorlarla gösterilmiştir (17).

1973 yılında HLA抗原lerinin, HLA sisteme ilişkin çeşitli hastalıklarla ilişkili olduğu bulunmuştur. HLA molekülleri kristalize edilmiştir. İmmün yanıt oluşturacak şekilde peptidlerin T hücrelerini etkilediği gösterilmiştir. Bu bulgular, HLA molekülleri ile ortaya çıkan polimorfizmin immun yanımı nasıl etkilediğine ve hastalıklara olan ilişkisine ışık tutmaktadır (3).

1970' li yılların sonları ve 1980' lerin başlarında, çeşitli HLA genleri moleküler genetik teknikler kullanılarak ortaya çıkarılmıştır. RFLP (Restriction Fragment Length Polymorphism) teknikleri, MHC' deki genetik çeşitliliği ortaya çıkarmıştır. İlk moleküler genetik HLA tipleme metodu için dayanak oluşturmuştur (2).

1980 'li yılların sonlarında klasik olmayan HLA-E, -G ve -F molekülleri bulunmuştur (1).

1994 yılında MHC sınıf I bölgesinde klasik MHC sınıf I genlerinden organizasyonları, ekspresyonları ve ürünleri farklı başka yeni gen lokusu bulunmuştur. Bu yeni bulunan lokusa MIC (MHC sınıf I ağır zinciriyle ilişkili genler) adı verilmiştir (1).

İnsan MHC bölgesinin tüm DNA sekansı 2000' li yılların sonuna doğru aydınlatılmıştır. Altıncı kromozomun üzerindeki 3.6 megabazlık bu bölgede 224 gen lokusu saptanmıştır (1).

#### **1-b) HLA Moleküllerinin Yapısı, Fonksiyonu ve Dokudaki Dağılımı:**

HLA kompleksinin, çeşitli fonksiyonları oluşturan molekülleri kodlayan çok fazla sayıda gene sahip olduğu gösterilmiştir. HLA kompleksinin tanınmasına olanak sağlayan hücre yüzey molekülli 3 ana gruptur (3,6,16,18,24,25).

1. Sınıf I : HLA-A,- B,-C ve non klasik olarak da HLA-E,-F,-G,-H,-J' dir.
2. Sınıf II: HLA-DR, -DP ve -DQ' dur (1,6,24,25). İlave genler, HLA-DM,-DN,-DO dur (2,24).
3. Sınıf III: Kompleman genleridir.

## **HLA Sınıf I :**

HLA sınıf I molekülleri  $\beta_2$  mikroglobulinle oluşturulan 12.000 daltonluk nonpolimorfik proteinle non kovalent bağlı olan ve ağır zincir oluşturan 44.000 daltonluk polimorfik glikoprotein içeren 2 zincirli yapıdadır.  $\alpha$  zinciri 6. kromozom üzerinde bulunan HLA kompleksindeki genle ve  $\beta_2$  mikroglobulin ise 15. kromozom üzerinde bulunan non-HLA genle kodlanmaktadır (3,6,14,16). Hücre membranında yer alan sınıf I molekülü sadece  $\alpha$  zinciridir.  $\alpha$  zinciri; üç bölgede organize olan yaklaşık 340 amino asit içermekte olup bu bölgeler, ekstrasellüler bölge, transmembran bölgesi ve intrastoplazmik bölgeleridir denilmiştir (3,6).

Estrasellüler bölge:  $\alpha_1$ ,  $\alpha_2$ ,  $\alpha_3$  olmak üzere üç domaine bölünmüştür bu bölgeler yaklaşık 90 amino asitten oluşmuştur. Bu üç domain  $\beta_2$  mikroglobulinle ilişkilidir.  $\alpha$  zincirindeki polimorfizim, primer olarak  $\alpha_1$ ,  $\alpha_2$  domainlerinde hipervariable bölge olarak lokalize olmuştur (3,16).  $\alpha_1$ ,  $\alpha_2$  domaininde bulunan bir hipervariabel bölge yaklaşık 62-80 rezidü içermiştir.  $\alpha_2$  domaininde yer alan ve daha az polimorfik hipervariable bölge ise 140-160 rezidü içermiştir.  $\alpha_3$  domainindeki amino asit rezidüleri ise 223- 227 ve 229 rezidü içermiştir (3).

Sınıf I molekülerinin ve peptidlerinin T hücre reseptörleri ile tanınması kompleks biçimde olmaktadır. Sitotoksik T Lenfosit (CTL) prekürsörleri, yabancı peptid kombinasyonunu veya duyarlı hücre üzerindeki sınıf I molekülünü tanıdıklarını prolifere olarak matür CTL olarak olgunlaşırlar. Matür CTL, tanıma işini yapar ve spesifik olarak hedef hücreleri öldürür. Özel CTL hücreleri aynı virüsle enfekte olan farklı sınıf I molekülü olan hücreyi lizise uğratmadığı gibi farklı virüsle enfekte olan aynı sınıf I molekülü olan hücreleri de lizise uğratmaz. Sonuç olarak CTL'lerin öldürme işlemi peptid spesifiktir, sınıf I restriktedir (3). CD8+ T lenfosit yüzeyinde bulunan reseptörler HLA-A2 gibi sadece belirli sınıf I molekülü ile ilgili olan yabancı peptidleri tanır.

HLA sınıf I molekülleri tüm nükleuslu somatik hücrelerde bulunmaktadır. HLA-E,-F, ve- G lokusundaki genler HLA-A,-B,-C genlerine göre daha az polimorfik olup daha sınırlı doku dağılımı vardır (24).

### **HLA Sınıf II:**

HLA sınıf II molekülü, 29.000 dalton  $\beta$  zinciri ile 34.000 dalton  $\alpha_1$  zinciri olmak üzere, 2 tane HLA kompleksi ile kodlanan glikoprotein zincirinden oluşmuştur (3,14,16,28). Molekül her iki zincirle birlikte membranda bulunur. Zincirlerin herbiri 230 amino asitten oluşmuştur. Sınıf II molekülüde sınıf I molekülü gibi extrasellüler bölge, transmembran bölgesi ve intrastoplazmik bölge olarak organize olmuştur. Extrasellüler transmembran bölgenin 3 domain içeriği sınıf I  $\alpha$  zincirinin aksine, sınıf II  $\alpha$  zinciri ve  $\beta$  zinciri extrasellüler bölgelerinin herbiri 2 domain içermiştir. Bunların herbiri de 90 amino asitten oluşmuştur,  $\alpha$  zincirinin domainleri  $\alpha_1$  ve  $\alpha_2$ ,  $\beta$  zincirinin domainları 4 external domaine sahiptir. Sınıf I  $\alpha_3$  domaini ve  $\beta_2$  mikroglobiline benzer şekilde, sınıf II  $\alpha_2$  ve  $\beta_2$  domainları ile immünglobulin bölgesi domainları homoloji göstermiştir. Bu da sonuç olarak sınıf II moleküllerini immunglobulin supergen ailesine dahil etmiştir (3).

Sınıf II  $\alpha_1$  ve  $\beta_1$  domainlerinin peptid binding alanı oluşturması, sınıf I  $\alpha_1$  ve  $\alpha_2$  domainlerinin aynı yapıyı oluşturulmasının karşılaştırılabilir olması, sınıf II yapısı, sınıf I yapısı ile biraz benzerlik göstermiştir. Sınıf II' ler CD4<sup>+</sup> T lenfositleri üzerinde reseptör olarak görülmüştür(6,28). HLA sınıf II  $\alpha_1$  ve  $\beta_1$  domainlerinin yapısı 8 $\beta$  zinciri ile 2 $\alpha$  zincirinden oluşmuştur.  $\alpha_1$  ve  $\beta_1$  domainleri eşit dağılmıştır. Sınıf II molekülünde de sınıf I molekülündeki gibi 2 $\alpha$  heliksi ve  $\beta$  zincirlerinin bir bölümü, peptid fragmanlarına eklenen boşluğu oluşturmuştur. Birinci ve ikinci hipervariable bölgeler  $\beta$  zinciri üzerinde lokalize olurken üçüncü hipervariable bölge  $\beta$  zincirinin  $\alpha$  heliksi üzerinde bulunmaktadır. Sınıf I' in aksine sınıf II' nin binding alanı açıktır. 10- 25 aminoasit veya daha fazla peptid bağlanması olanak

tanır. Bu bağlı peptit ve sınıf II molekülü, CD4<sup>+</sup> T lenfositleri üzerinde T reseptör için ligand oluşturmaktadır (3,28).

HLA sınıf II genleri  $\alpha$  ve  $\beta$  primer amino asit dizisine ve kristal yapısına göre 4 bölgeye ayrılmıştır.

1-Amino terminal ekstrasellüler peptid bağlayan bölge

2-Ekstrasellüler immunoglobulin benzeri bölge

3-Transmembran bölgesi

4- Sitoplazmik bölge (24).

Sınıf I molekülleri CD8<sup>+</sup> T hücreleri ile peptid tanınmasını sınırladığı gibi, sınıf II molekülleri CD4<sup>+</sup> T hücreleri ile peptid tanınması sınırlandırılmaktadır (6,8,16). Sınıf II molekülleri ile bağlı peptidler, 10 ila 25 amino asit arasında değişen şekilde fazla çeşitliliğe sahiptir. Sınıf I molekülünün peptid bağlantıları N-terminal ve C-terminal ucu ile olurken; sınıf II molekülü peptid bağlantıları heliksler ve peptidin uzunluğunca devam eden peptid dizilimi ile olmaktadır. Bununla birlikte, Sınıf II alanının sol son kısmında, peptid 3. pozisyonuna yakın amino asit zinciri yer alır. Sınıf II bağlı peptid, sınıf I bağlı peptiden daha uzun devam etmiştir (3).

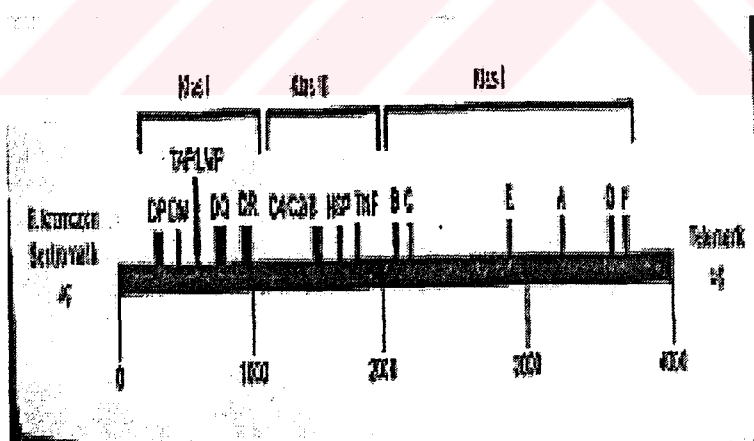
Sınıf II HLA molekülündeki peptidlerin yerleşmesinde önemli rol oynayan proteinleri kodlamıştır .

Sınıf II molekülleri daha sınırlı dağılım göstermiştir. Bu moleküller primer olarak makrofajlar, dendritik hücreler, B lenfositleri, aktive T lenfositlerini de kapsayan immun hücreler üzerinden eksprese edilmiştir (3).

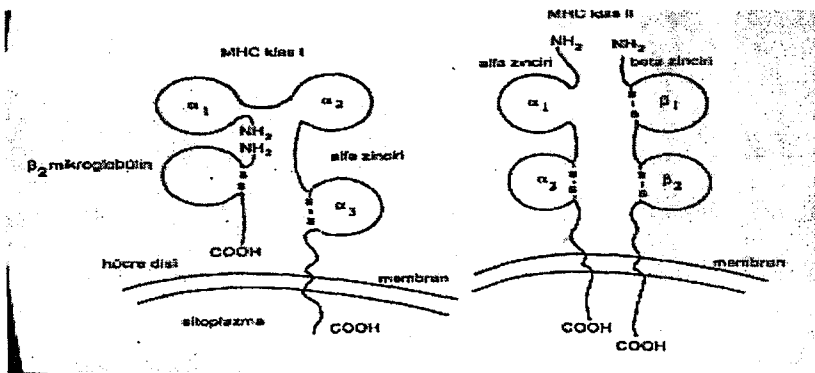
### **HLA Sınıf III :**

HLA kompleksinin 1000 kb sentromerlik kısmında lokalize olan genler sınıf II bölgesidir. Bu bölgede sınıf II' nin tüm genleri bulunmuştur. 1000 kb orta kısmında lokalize olan genler sınıf III bölgesidir. Bu bölge diğer genlere ilaveten kompleman genlerini içermiştir. Bu genler sınıf III genleri diye adlandırılmıştır (3). Bu bölge I. ve II. sınıf gen bölgeleri arasında yer almıştır. C4, C2 ve properdin B faktörünü sentezleyen gen alt bölgesi bölgeleri vardır. Bu proteinler serumda serbest olarak bulunmuştur ve serolojik olarak tayin edilmişlerdir (24).

Sınıf III Bölgesi, bağlı olmayan fonksiyonlara sahip molekülleri kodlayan çok sayıda gen içermiştir. Bu genler C4A ve -B , C2 ve Bf genlerini kapsar. Sırasıyla klasik ve alternatif kompleman sisteminin 4., 2. ve properdin faktörünü kodlamaktadır. (Tissue Nekroz Faktör) TNF-A ve-B genleri TNF $\alpha$ - $\beta$ ' yi kodlamaktadır (3).



**Şekil 1:** MHC : Majör Doku Uygunluk Kompleksi.



**Şekil 2:** MHC Sınıf I ve Sınıf II Moleküllerinin Şematik Yapısı.

Doku	MHC Sınıf I	MHC Sınıf II
T Hücreleri	+++	+ / -
B Hücreleri	+++	+++
Makrofajlar	+++	++
Diğer Antijen	-	
Sunan Hücreler	+++	+++
Timus Epiteli	+	+++
Nötrofiller	+++	-
Hepatositler	+	-
Böbrek	+	-
Beyin	+	-
Eritrositler	-	-

**Tablo 1 :** MHC Sisteminin Dokularda Dağılımı .

### **1-c) HLA Saptama Yöntemleri:**

#### **1-c- 1) Akım Sitometri ile HLA Antijenlerinin Saptanması :**

Akım sitometri cihazı hücrenin yada biyolojik partiküllerin birçok fiziksel

özellikini aynı anda ölçen teknoloji olup, akım içerisinde hareket eden hücrelerin çeşitli özellikleri ölçülür. Akım sitometride, lazer ışık kaynağından gelen ışınlarla hücrelerin karşılaşması sağlanır. Fludik, optik ve elektronik sistemleri kullanılarak hücrelerin büyülüklüğü, granülositesi ve floresan yoğunluğu ölçülür. Akım sitometrinin bu ölçümü yapabilmesi için hücrenin sıvı içinde süspanse olması gereklidir. Hücre süspansiyonu akım sitometri içine çekilirken lazer ışığına maruz kalır. Hücrelere çarpan lazer ışınları saçılır. Hücre üzerinde floresan molekülleri varsa bu moleküller lazer ışınlarını absorbe ederek daha uzun dalga boyunda saçılırlar. Saçılan ışınlar uygun olarak yerleştirilen ayna ve filtreler ile dalga boylarına göre dedektörlerle toplanır. Bu sinyaller elektronik sinyallere dönüştürülür. Her hücre ile ilgili bilgi bilgisayar programında toplanır. Bilgisayar programında toplanan datalar izotopik kontrole göre analiz edilir (11).

Sınıf II antijenleri HLA-DR,-DP ve -DQ lenfosit yüzeyinde bulunan epitoplardır. Farklı oranlarda eksprese olurlar. Bu ekspresyon miktarı monoklonal antikorlarla işaretlenerek akım sitometri cihazında değerlendirilir.

Sınıf I antijenlerinden HLA-B alleli olan HLA-B27 akım sitometri ile tespit edilebilmektedir (31).

#### **1-c-2) Real Time PCR Yöntemi ile HLA Saptaması :**

Real Time PCR nükleik asit amplifikasyonu eş zamanlı olarak artış gösteren floresan sinyalinin ölçülmesiyle kısa sürede kantitatif sonuç verebilen PCR yöntemidir (7). (Ticari olarak kullanılan 3 tipi vardır: Light Cycler, Taqman, BİO-RAD) Yalnızca çift zincirli DNA'ya bağlandıklarında floresan veren boyalar (Cyber green I) kullanılarak, amplifikasyona bağlı DNA artışı, ortaya çıkan floresan miktarı ölçülür. Primerin bağlanması takiben gerçekleştirilen uzama aşamasında hedef DNA'nın çift sarmal hale gelmesiyle DNA'ya bağlanan 'cyber green' miktarı artmaktadır ve buna bağlı

olarak yayılan floresans miktarındaki artış gözlenmektedir (7). Bu uygulamada, floresan artışı her zaman spesifik amplifikasyon göstermeyebilir. Çünkü çift sarmal DNA' ya entegre olan 'cyber green' ortamda hedef moleküller olmadığında primerlerin kendi aralarında gerçekleşecek olan bağlanmalar sonucunda da yapıya katılarak floresans oluşumuna sebep olabilmektedir. Bu olumsuz faktörü gidermek için amplifikasyon ürünlerinin ' melting curve' (erime eğrisi) analizi yapılmaktadır. Her çift sarmal DNA, kendine özgü 'melting temperature Tm' ( çift sarmal DNA' nın % 50' sinin tek sarmal hale gelmesi için gerekli sıcaklık) değerine sahiptir. PCR amplifikasyonunun ardından sıcaklık yavaş yavaş yükseltilerek, belirli aralıklarla tüpteki floresans miktarı kaydedilir. Çift sarmal DNA zincirleri birbirinden ayrılmaya başlayınca 'Cyber green' boyası serbest kalmakta ve floresans miktarı azalmaktadır. Denatürasyon olduğunda floresans sinyal aniden düşmektedir. Erime eğrisinden yararlanılarak amplikonun Tm derecesi saptanabilmektedir. Klinik örneğe ait Tm derecesi, aynı koşullarda işleme alınan pozitif kontrolün Tm derecesiyle karşılaştırılarak, PCR sonucunun doğru veya hatalı olduğuna karar verilir (7).

Diğer bir uygulama şeklinde hedefe özgül problemler kullanılmaktadır. Burada problemler testin özgüllüğü artmıştır. Problemlardan biri 3' ucundan floresans boyası işaretli (donör boyası), diğeri 5' ucundan alıcı boyası ( acceptor dye) ile işaretlenmiştir. Problemler hedef amplikonlar üzerinde birbirine yakın (1-5 nükleotit uzaklıktır) yere bağlanmakta ve işaretli uçlar yan yana gelmektedir. İki boyanın yan yana gelmesiyle açığa çıkan enerji ikinci prob üzerindeki alıcı boyayı etkileyerek floresans oluşumuna yol açmaktadır. 'Fluorescence resonance energy transfer, (FRET)' olarak adlandırılan bu enerji transferi

sonucunda oluşan floresans miktarı, ortamdaki hibridizasyonun derecesine bağlı olarak artmaktadır (7).

TaqMan sisteminde 5' ve 3' uçlarından flokrom maddelerle işaretli prob kullanılmaktadır. Prob, tek sarmal hale gelen hedef molekülün üzerinde, primerlerin bağlanma bölgesinin arasında kalan yere bağlanır. Prob-hedef molekül arasındaki hibridizasyon devam ettiği sürece raportör florokrom maddenin sinyal oluşturmazı, 3' uçtaki baskılayıcı florokrom tarafından engellenmektedir. Primerlerin hedef nükleik aside bağlanması takiben başlatılan primer uzaması probun bağlandığı noktaya kadar geldiğinde, sentezin devam etmesi için Taq DNA polimeraz enzimi  $5' \rightarrow 3'$  nükleaz aktivitesini kullanarak probu 5' uçtan yık Maya başlar. Böylece raportör florokrom serbest hale geçerek sinyal oluşturur. Her siklüsta üretilen amplikon miktarına paralel, sinyal şiddeti artar (7).

Real Time PCR kısa sürede sonuç verebilmektedir. Test yapılrken tüpler açılmadığından kontaminasyon riski azdır. Elektroforeze gerek kalmadan sonuç alınabilmektedir. Ayrıca floresan veren problar kullanılarak hedef nükleik asitteki mutasyonlar saptanabilmektedir(7).

Sınıf II Antijenlerinden HLA-B27 antijeni Real Time PCR' la son zamanlarda çalışılmaktadır(30).

### **1-c-3) Konvansiyonel SSP-PCR Yöntemiyle HLA Saptanması:**

Moleküler HLA tiplemesi için en yaygın metotlardan birisi de HLA tiplerini adlandırmak için kullanılan, polimorfik sekansların saptanmasını sağlayan sekans spesifik primerlerdir (SSP). Bu metot için isimler PCR-SSP, amplifikasyon refraktör mutasyon sistemi (ARMS), allel spesifik mutasyon (ASA), spesifik allellerin PCR amplifikasyonu ve allel spesifik PCR (ASP) kapsamaktadır. Bu metotla, amplifikasyon primerlerinde yer alan polimorfik sekanslar saptanabilmektedir. Eğer allelde her 2 primerin sekansı mevcutsa amplifikasyon gerçekleşir. Eğer allelde her 2 primerin sekansı yoksa, amplifikasyon ürünü oluşmayacaktır. Bu metot, partiküler HLA tipini tanımlamada en az 2 polimorfik sekans saptayarak değerlendirir. Bu metot, tüpler veya mikroliter alanlara ilave edilen her bir çiftle birlikte bir çok farklı amplifikasyon çiftlerini gerekli kılar. Bilinmeyen DNA örneği her bir tüpe ilave edilir. Amplifikasyon ürünleri, DNA örneklerinde var olan sekansları kapsayan primerlerden elde edilmektedir. Amplifikasyon ürünleri, genellikle agaroz jel ile elektroforez yapılan DNA'ının ethidium bromidle boyanması ile saptanmaktadır (2).

Bu metot da ortaya çıkan bir potansiyel problem; partiküler primer karışım için negatif sonucun, hedef sekansların olmamasından değil de amplifikasyonun başarısızlığından kaynaklanmaktadır. Kontaminasyon problem olabilir.

Amplifikasyon primerleri, düşük rezolüsyonlu HLA-A,-B,-C ve -DR,-DQ tipleme için rapor edilmişlerdir. Yüksek rezolüsyonlu tipleme metotları HLA-DR ,-DQ için ve sınıf I HLA allellerleri için rapor edilmiştir(2).

### **1-c-4) Serolojik Yöntemle HLA Saptanması :**

Serolojik yöntem sınıf I (HLA-A,-B ve-C) lokuslarının belirlenmesinde kullanılmaktadır. Bu yöntemde kan örneğinden histopak solüsyonu ile lenfositler izole edilir. İzole edilen lenfositler plaklara ekilir. İşlem sonunda plak mikroskop altında

değerlendirilerek alleller belirlenir. PCR' a göre ucuz bir yöntemdir. Bu yöntem sınıf II allellerini belirlemede yetersiz kalmaktadır. Bu yöntemin yetersizliği kross reaksiyon veren抗原lerden kaynaklanmaktadır (26).

#### **1-c-5) HLA-Saptamasında Kullanılan Diğer Yöntemler :**

**PCR Metodu :**PCR, DNA üzerinde seçilmiş olan spesifik bölgenin amplifikasyonunu otomatik olarak sağlayan metottur (24).

PCR invitro ortamında spesifik DNA'nın amplifiye olarak ardarda primerlerin birbirini tamamlayarak DNA iplığının uzamasıdır. Hedef bölgedeki zincir  $5' \rightarrow 3'$  yönünde olmaktadır (10,24).

**Heteroduplex Metot:** Heteroduplex formasyonu, amplifiye edilmiş ürünlerin denatürasyonu ve renatürasyonu sonrasında heteroduplex ve homoduplex DNA formları arasındaki farklılığın belirlenmesiyle genetik sekanslarla bağlantılı farklılıklarını saptamaktadır (2).

**SSCP Metotları:** SSCP (Sekans Spesifik Zincir Reaksiyonu), aynı zamanda iki HLA allelinin karşılaştırılması için kullanılmıştır. Bu metotta tek zincirli nükleik asitlerin sekonder yapılarındaki farklılıkları saptamak için elektroforez kullanılmaktadır (2).

**DGGE Metotları :** Denatüre edici gradient jel elektroforezi, elektroforez süresince DNA' yi denatüre etmek için jel içerisine ilave edilen denatürant gradienti kullanılmaktadır (2).

### **1-d) HLA ve Hastalık İlişkisi :**

Belli bir MHC allele'ine sahip olmanın yatkınlık yarattığı hastalıklar; otoimmün hastalıklar, viral hastalıklar, kompleman sistemi bozuklukları, bazı nörolojik ve alerjik hastalıklardır. Bu grup hastalıkların çoğunda MHC dışı çok sayıda gen ve çevresel etkiler de rol oynar. Bu nedenle belli bir hastalık ile MHC ilişkisini belirlemek zordur (28).

Otoimmün hastalıklar, insanlarda birkaç basamakta olur. Pek çok otoimmün hastalığın gelişiminde genetik özelliğin katkısı bulunmaktadır. Bu hastalıklarda, MHC genlerinin katkıları ile kompleks bir genetik geçiş vardır. Otoimmün hastalıklarının çoğunun patogenezinde, HLA sınıf II抗jenleriyle ilişkisi olan T lenfositlerinin önemi büyüktür (32).

MHC molekülleri ile hastalık arasındaki ilişkinin en tipik örneği HLA-B27 doku tipine sahip olma ile oluşan ankilozan spondilit riskidir(28).

Reaktif artritlerde HLA-B27 sıklığı % 60-80 arasındadır. Bu sıklık reaktif artritlerin etkenine göre değişmektedir. Bütün reaktif artritlerin kronik şekilleri akut tipine oranla hastalığı başlatan mikroorganizma ne olursa olsun, HLA-B27 (+)'lığı % 90 dan daha yüksektir (28).

Hasta ve normal populasyonda HLA antijenlenin sıklığı karşılaştırılarak yapılan populasyon çalışmalarında HLA-hastalık bağlantısı değerlendirilmiştir. Farklı etnik gruplar ve ırklar arasındaki HLA antijen çeşitliliğinin sıklığından dolayı, aynı etnik grup ve ırklara ait hasta ve normal populasyondaki antijen sıklığının karşılaştırılması uygundur. Örneğin HLA-B27, Amerikalı beyaz ankilozan spondilitli hastaların % 88'inde ve kontrol hastalarının % 8'inde bulunmuştur. Afrikalı Amerikalı ankilozan spondilitli hastaların % 48'inde HLA-B27 varken kontrol grubunun sadece %2'inde HLA-B27 saptanmıştır (3).

HLA- hastalık bağlantısının ölçüsü, reaktif risk (RR) ile değerlendirilmiştir. RR, HLA antijeni olmayan bir hasta ile karşılaşıldığında, hastalıkla ilişkili HLA antijeni olan hasta için bu hastalığın olma şansını göstermiştir.

$RR = (P^+ \times C^-) / (P^- \times C^+)$  formülü ile hesaplanmıştır. Burada;

$P^+$ : hastalar arasında hastalıkla ilişkili HLA antijeni olan hastaların % oranını.

$C^-$ : HLA antijeni olmayan kontrol grubunda kişilerinin % oranını.

$P^-$  : HLA antijeni olmayan hastaların % oranını.

$C^+$  : HLA antijeni olan kontrol grubunda kilerinin % oranı.

RR: 1'in üzerinde oldukça, HLA antijeni ile hastalık arasındaki bağlantıda güçlenmiştir. Örneğin HLA-B27 pozitif olan beyaz Amerikalılar için bu değer  $\geq 90'$  dır (3).

Her toplumda AS ile ilgili HLA-DRB1 aleleri farklıdır. Japonlarda DRB1 0404, Musevilerde DRB1 6101, Amerikalılarda HLAB1 1402'dir (28).

Avrupalılarda SLE, HLA-DR3 ile ilgilidir. DR3 ile umulandan daha sık birlikte bulunan HLA-B8' dir (28).

HLA-hastalık ilişkisini açıklayan hipotezler mevcuttur. Bunlardan 6 tanesi şöyledir. Bu hipotezlerin 5 tanesi HLA sınıf I ve sınıf II moleküllerine uygulanırken, 6. hipotez sadece sınıf II moleküllerine uygulanmıştır (3).

İlk hipotez; HLA molekülünün, etyolojik mikrop için reseptör olarak rol oynadığı öne sürülmüştür. Eğer, HLA-B27, AS' na neden olan mikrop için reseptörse, HLA-B27' ye sahip olgu için AS için artmış risk söz konusudur. Mikroba maruz kalma halinde AS gelişecektir (3).

İkinci hipotez; sadece belirli bir HLA molekülünün, peptidi yerleştirebilen, peptid binding alanına sahip olduğunu öne sürmüştür. AS' na neden olan etyolojik mikrop hücreye girdiğinde, bazı mikrobal proteinler peptidlere degrade olmaktadır. Eğer HLA-B27 molekülü, Etyolojik mikrobal peptidi kabul edebilen peptid binding alanı ile dominant sınıf I molekülü ise, ardından HLA-B27, peptidleri T hücrelerine sunan dominant sınıf I molekülü olacaktır. Bu hipoteze göre, mikropla infekte HLA-B27 pozitif olgularda AS gelişebilir (3).

Üçüncü hipotez; HLA molekülü peptid kompleksini tanımlayan, T hücre antijen reseptörünün hastalık için sorumlu olduğunu öne sürdürmektedir. Bununla birlikte HLA moleküllerinin, T hücre tanınmasını etkilemeleri nedeniyle, hastalık ve HLA molekülleri arasında açık bir bağlantı görülmüştür. Bu hipotez, tüm HLA -B27 pozitif olguların etiyolojik B27 mikrobiyal peptid kompleksi oluşturabileceğini belirtmektedir. Fakat sadece kesin olgular, bu kompleksi tanımlayabilir. Sadece, uygun reseptörü olan T hücreleri olan olgulara AS gelişebilir. Aksine, HLA-B27 pozitif olan, bu T hücrelerinin olmadığı olgulara AS gelişmeyecektir. Her ne kadar uygun reseptöre sahip T hücreleri, hastalığın gelişiminden sorumlu tutulsa da, HLA-B27 ile net bağlantı, bu hücrelerin HLA-B27 etkilenimi ile ortaya çıkmıştır (3).

Dördüncü hipotez; antijenik peptidleri stoplazmadan endoplazmik retikulumta taşıyan TAP gen ürünleri ile ilgilidir. Defektif olay varsa, bu defekt hastalığa predispozandır. Bu durumda, defektif TAP gen ürünleri endoplazmik retikulum birkaç peptid geçişine izin verir. Bu da hücre yüzeyinde HLA sınıf I moleküllerinin anormal düşük dansitesi ile sonuçlanmıştır. 3 olası alternatif, HLA ve hastalık arasındaki bağlantıyı açıklayabilir. İlk alternatif, defektif TAP geninin, birkaç immünojenik mikrobiyal peptid HLA moleküler kompleksine olanak tanadığını bunun da mikroba karşı effektif immun yanıtını önlediğini öne sürer. Ardından mikrop, bazı bilinmeyen patofizyolojik mekanizma ile AS' ye neden olur. İkinci ve Üçüncü alternatifler mikrobiyal infeksiyonu geliştirmemektedir. İkinci alternatif, defektif TAP geni nedeniyle, birçok boş HLA-B27 molekülünün oluştuğunu öne sürmektedir. Ayrıca, boş HLA-B27 moleküllerinin, hücre yüzeyinde, diğer HLA sınıf I moleküllerinden daha stabil olduğunu öne sürmektedir. Bu boş HLA-B27 kompleksleri patojenik T hücre

yanıtını stimüle etmektedir. Üçüncü alternatif, sınıf I moleküllerinin düşük dansitesinin, defektif self toleransa neden olduğunu ve bunun da otoimmünite ile sonuçlandığını öne sürmüştür (3).

Beşinci hipotez; hastalıklı ilişkili HLA antijeninin, mikrobiyal antijene immünolojik olarak benzer olduğunu öne sürmüştür. Bu çalışmada örnekte, AS için etyolojik olan örnekten alınan antijen, immünolojik olarak HLA-B27' ye benzer ve uygun T hücre reseptörü tarafından tanınmıştır. Peptid ve HLA-B27'nin immünolojik benzerliği nedeniyle, aynı T hücre reseptörü aynı zamanda HLA-B27' yide tanır. Bu hipotez, iki olası alternatif öne sürmektedir. Birinci alternatif, HLA-B27 ile mikrobiyal peptid arasındaki benzerliğin, mikrobun yabancı olarak tanınmasını önlediğini öne sürmektedir. İmmün yanıt belirlenmemiştir. Bilinmeyen patofizyolojik mekanizma ile mikrop hastalık oluşturmaktadır. İkinci alternatif, mikrobiyal peptidin yabancı olarak tanındığını ve immün yanıtın mikropla başladığını öne sürmüştür. HLA-B27 ve mikrobiyal peptid benzerliği nedeniyle immün yanıt aynı zamanda HLA-B27' ye karşıda oluşmaktadır. Bu da otoimmün yanıt AS ile sonuçlanmıştır (3).

Son teori, AS' li olduğu kesinleşen hastalar arasındaki gözlemlerle oluşturuldu. Reiter Sendromu, Shigella flexneri türlerinin neden olduğu dizanteriyi takiben HLA-B27 pozitif olgularda gelişebilir. AS durumuna neden olan Shigellada, plazmid veya ekstrakromozal sirküler DNA PHS-2 parçası tanımlanmıştır. Bu plazmid, 5 amino asidin HLA-B27 sekansı ile birliktelik göstermektedir. Artritojenik Shigella ile taşınan PHS-2 plazmidi ile yapısal ve immünolojik benzerlik gösteren HLA-B27' li olgular, bu plazmidi taşıyan shigella ile infekte olmaları durumunda, hastalığa duyarlı hale gelmişlerdir (3).

Spondiloartropati gelişimi olan HLA-B27 transgenik rat çalışması, bazı olası mekanizmaları ortaya koymaktadır. Sadece, HLA-B27 geni varlığında, hastalığa duyarlılık oluşmaktadır. Bu sonuç, HLA-B27 varlığının hastalık için sorumlu olduğunu düşündürmektedir. Daha ileri çalışmalar, transgenik ratların hastalığın birçok bulgusunun gelişmesini sağladığını gösterir. Buna ilaveten hastalık, hiçbir belirti

olmadan, kemik iliği hücrelerinden transgenik ratlara aktarılır. Bu bulgular, HLA-B27 peptid kompleksinin hastalık patogenezinde yer aldığınu düşündürmektedir(3).

HLA- hastalık ilişkisini değerlendiren son hipotez sadece, sınıf II molekülleri ile ilişkili hastalıklarla bağlantılıdır. HLA sınıf II molekülleri, normalde sınırlı doku dağılımına sahiptirler. Antijen sunan hücreler, B hücreleri ve aktive T hücreleri ile etkilenirler. Genel olarak da HLA sınıf II moleküllü eksprese etmeyen hücreler, interferon  $\gamma$  ekspresyonunu sağlamak için indükleyici olabilirler (3).

Yukarıdaki hipotezlerden hiçbir, herhangi bir hastalık için kesin değildir. Farklı hastalıklar için farklı mekanizmalar vardır.

HASTALIK	İLGİLİ HLA ANTİJENİ	ORTALAMA RÖLATİF RİSK
Hematokromozis	A3	-
Narkolepsi	DR2	-
Ankilozan spondilit	B27	81.8
Reiter sendromu	B27	40
Psoriatik spondilit	B27	10
Akut anterior üveit	B27	8
Behçet hastalığı	B5	3.3
Romatoid artrit	DR4	6.4
Pausi artiküler romatoid art.	DR5/DP2	7
Kronik hepatit	B8	
Sistemik lupus eritematozus	DR3/C4	17.1
Sjögren sendromu	DR3	5.6
İnsulin bağ. Diabetes mellit	DQ8/DR3/4	31.8
Goodpasture	DQ57	0.1
Multiple skleroz	DR2	20
Myastenia gravis	DR2/B8/A2	6
Hodking hastalığı	B18	-
Preeklampsi	DR4	-

**Tablo 2 : MHC Sisteminin Hastalık İlişkileri .**

## **2-HLA-B27 ve HASTALIK İLİŞKİSİ :**

1986 yılında Townsend' de uygun bir şekilde ard arda gelen kısa lineer peptidleri tanıtmaya duyarlı CTL hücrelerinin viral proteinlerin epitoplarını tanıdığını göstermiştir. Bu buluş, belirli sınıf I moleküllerinden HLA-A2, HLA-Aw68 ve HLA-B27 nin x-işinlarıyla peptid binding bölgelerinin kristal grafik yapısının belirlenmesine yardımcı olmuştur (4).

HLA-B27 antijeni 6. kromozomun kısa kolunda HLA-B lokusun da bulunmuştur(24).

Sınıf I MHC molekülleri , virüsler ve intrasellüler bakterilere karşı koruyucu immünitede majör rol oynayan polimorfik yüzey antijenleridir. HLA sınıf I antijenlerinden, insanlardaki hastalıklarla en güçlü ilişkisi olan HLA-B27 molekülüdür(19).

Sınıf I HLA bölgesinin β lokusunda B27'nin ağır zincirini kodlayan 6 farklı allele vardır (28).

HLA-B27'nin antijenik peptidi bağlayan oyuğunda bulunan sekiz amino asidin yerleşimi; 70. pozisyonda lizin, 9. pozisyonda histidin, 44. pozisyonda glutamik asit, 67. pozisyonda sistein, 69. ve 71. pozisyonda ise alanin vardır. HLA-B27 dışındaki sınıf I MHC moleküllerinde bu amino asitlerin ikisinden fazlası bulunmaz. Bu nedenle HLA-B27'nin hastalık yatkınlığından sorumlu kısmı bu özel amino asit dizilimine sahip antijen bağlayan oyuk kısmıdır (22).

HLA-B27 (+) olan kişilerin ankilozan spondilit olma olasılığı HLA-B27 (-) olanlara oranla fazladır. Buna rölatif risk denilmiştir. HLA-B27 (+) kişilerde ankilozan spondolit için rölatif risk %81'dir. 100 HLA-B27 (+) kişinin 4'ünde ankilozan spondilit

gelişir. Buna gerçek risk denilmiştir. Gerçek risk % 4'dür (28).

AS, Reaktif Artrit, diğer(Sekans Spesifik Allel) SSA' le birlikte HLA-B27 arasındaki bağlantı, insanlardaki hastalıklarda en güçlü HLA bağlantısıdır. HLA sınıf I moleküllerinin temel fonksiyonunun sitotoksik T hücrelerine peptid抗igenlerin sunulması nedeniyle, SSA'ların patogenezinde HLA-B27抗igen sunum özelliklerinin önemli olabileceği ileri sürülmektedir (19). HLA-B27 ve SSA arasındaki bağlantı için en favori teori, artritojenik peptid hipotezidir. Bu hipotez; tek amino asit artıkları nedeniyle, bazı B27 subtipleri, CD8+ T hücreleri ile tanımlan spesifik artritojenik peptidleri oluşturmaktadır. Bakteriyal peptidlere yanıtta, bakteri ve kendisi arasında yapısal benzerlikle birlikte, otoreaktif T hücreleri tarafından tanımlan抗igenler, eklemler ve omurlarda olduğu gibi kendi peptidleri ile aktif hale gelebilirler. Bu hipotez, direkt ve indirekt çeşitli araştırmalarla doğrulandı. Bu hipotez için, majör kanıtlardan biri, AS' le doğal HLA-B27 differansiyel bağlantıları gösteren çalışmadan sağlanmıştır. B2705, B2704, B2702 ve B2707 hastalığına güçlü bir biçimde bağlıntılı iken, Kafkasyalılarda HLA-B27, B2709 subtipleri ve Asyalılarda B2706 subtipleri AS' li hastalarda çok nadir görülmüştür(19). İki subtip; ASP'nin HIS ile yer değiştirdiği 1 aminoasit dizisi ile veya ASP'nin HIS ile ve ASP'nin TYR ile yer değiştirdiği 2 aminoasit dizisi ile hastalıkla ilişkili tiplerden ayırt edilmektedir. Hastalıkla ilişkili subtiplerin aksine, 2 hastalıkla ilişkili olmayan B2706 ve B2709 subtiplerinin artritojenik peptidlerde yer almazı hipotezi öne sürülmüştür. Patogenez için artritojenik peptidlerin olası önemli rolü hayvan modellerinde ve insanlardaki deneysel çalışmalarla desteklenmiştir. Zhou ve arkadaşları transgenik ratlarda artrit gelişimi üzerinde B27 bound peptidlerin etkisini araştırmışlardır. B27 transgenik ratlar güçlü HLA-B27 etkilenimi olan expresyon yapmaktadır (19).

Kemik iliği ve deneysel araştırmalar, AS ve reaktif artritte otoreaktif CD8+ T hücrelerinin olduğunu düşündürken, bilinmeyen kross reaktif bakteriyal epitoplar için effektif çalışmanın nasıl yapılacağı sorundur. Bu epitoplara karşı bakteri spesifik T hücre klonlarının oluşturulması zaman alıcıdır. Peptid epitop tanınması için

TCR dizisindeki sınırlama nedeniyle, sadece T hücre prosedürü kullanılırsa, bir tanesi gözden kaçacaktır. *C. trochomatis* için, CD8+ T hücre grupları elde edildi. Ardından *C. Trochomotis* genlerinin expresyonunu gözlelemek için kullanılmıştır (19).

B27 etkilenimli peptidlerin sayısının daha ileri olarak belirlenmesi için, 2 tane bilgisayara dayalı algoritm kombinasyonu kullanılmıştır: Birinci algoritm, HLA-B2705' e pozisyon 2' deki arjininle birlikte nanomer peptidlerin eklenme olasılığı tahmini için oluşturulmuştur. Algoritm H-G Rammensel grubu tarafından gerçekleştirilmiştir. İkinci algoritm, MHC sınıf I molekülleri tarafından CD8+ T hücrelerine sunulan peptidlerin proteozomlarla sitoplazmada işlem görmesini değerlendirmektedir(19). Sonuç olarak, CD8+ T hücreleri için HLA-B27 etkilenimli klavidyal peptid stimulatörlerini tanımlamada, seçilmiş peptidlere T hücre yanıtları antijen spesifik akım-sitometri ile test edilmiştir. Böylece seçilmiş klavidyal peptidlerin immünojenitesi nedeniyle, CD8+ T hücrelerinin stimülasyonu, hücre yüzeyi üzerinde erken aktivasyon markeri CD69 eksprasyonu için double-pozitif olan hücrelerin yüzde oranlarının değerlendirilmesi ile hücrelerde IFNy' nin intrasellüler artışı ölçülmüştür (19).

Diğer basamaklarda araştırmacılar, immünojenitesi açısından seçilmiş peptidleri test ettiler. Hücre yüzey ekspresyon markırları ve intrasellüler sitokin sekresyonuna dayanan antijen-spesifik akım-sitometri kullanılmıştır. *C. Trochomatis* ile induklenen reaktif artriti olan hastalardan alınan perifik kandaki mononükleer hücreler sinoviyal sıvı hücreleri seçilmiş peptidlerle 6 saat stimüle edildi. İmmün yanıt, intrasellüler değerlendirme ile erken aktivasyon markeri CD69 ve INFy' için double pozitif olan kantitatif CD8+ T hücreleri ile analiz edilmiştir. Chlamydia ile induklenen reaktif artriti olan B2705(+) hastalarda 11 tane HLA-B27 etkilenimli olguda nanomer peptidler tanımlanabilmiştir(19).

### **3- HLA-B27 SAPTAMA YÖNTEMLERİ :**

#### **3-a) Akım Sitometri ile HLA-B27 saptanması :**

Akım sitometri; biyolojik materyalleri ve hücresel antijenleri saptama olanağı sağlayan duyarlı, güçlü bir teknolojidir. HLA-B27, transplantasyon sonrası antikoru ve transplantasyon öncesi krossmatch ve antikorları izlemede klinik olarak müracaat edilen çok parametreli bir sistem olarak bulmuşlardır (13).

HLA-B27 klinikte hastalıkla ilgili hücre markörüdür. HLA-B27 antijeni lenfositler üzerinde monoklonal antikorlar kullanılarak direkt olarak akım sitometride belirlenebilir. 107 örnekte bu çalışmayı yapmışlar. Akım sitometri metoduyla elde edilen sonuçların standart lenfositotoksitesi testiyle tam uyuştuğunu göstermişlerdir (15).

Bu çalışmamızda Akım sitometri sonuçların en iyi şekilde karşılaştırıldığı uygun metod da üç farklı anti-B27 antikoru kullanmışlardır. (HLA-ABC-m3, GS145. 2, ve FD705). 400 den fazla örnek test etmişlerdir. Sonuç olarak üç farklı anti- B27 monoklonal antikor kullanılarak yapılan HLA-B27 antijeni belirlenmesinde akım sitometri ile kesin güvenilir sonuçların elde edildiğini belirtmişlerdir(12).

50 klinik laboratuvar da HLA-B27 akım sitometrik olarak 1995' den beri çalışılmakta olup neticelerini açıklamışlardır. Sonuçlar göstermiştir ki, HLA-B27 monoklonal antikorlar kross reaktif olarak majör problem oluşturmaktadır. HLA-B antijenlerinin serolojik kross reaktif antijenleri (HLA-B7,B12, B13, B16, B17, B22, B37, B40,B41 , B42,B47 ve B48) dir. B27 ile kross reaksiyon vermeyenler (B5, B8, B14, B15, B21 ve B35) diye belirtmişlerdir (20).

HLA-B27 tespit edilmesi A.S tanısında yardımcı olur. Klasik teknoloji mikrolenfositotosite pahalı ve hatalı sonuçlar vermektedir. İki yeni metot ile 304 örnekte çalışılmışlardır. Akım sitometri ve SSP-PCR. Akım sitometri de 3 monoklonal kullanılmışlardır. Cut-of değeri HLA-B27(+), HLA-B27(-) örneklerde göre ROC eğrisini tespit etmişlerdir. Akım sitometriyi deneyimleriyle ekonomik ve güvenilir bir yöntem olarak bulmuşlardır (5).

HLA-B27 ile A.S teşhisi arasında güçlü bir beraberlik vardır. Anti HLA-B7 / HLA-B27 bütün kan örneklerinde akım sitometri yöntemiyle hızlı bir şekilde saptanabilir. 300 örnektten elde edilen sonuçlar TERASAKİ mikrolimfositotoxisite referans metodu ile karşılaştırılmıştır. Bu metot AS uyumlu yanlış negatif sonuçları gizlemektedir. HLA-B7 akım sitometride kullanılmasıyla oluşan iki monoklonal antikor kross reaksiyonları elimine ettiğini bulmuşlardır (33).

Avustralyadaki Royal Kollejinde İmmünolojik Programda 7 yıl süresince akım sitometri ile HLA-B27 neticeleri değerlendirmiştir. Burada hatalı olan negatif ve pozitif sonuçların düzeltilebilirlik dereceleri ispat etmişlerdir. Çok sayıda çalışmaya katılan laboratuar akım sitometri ile hatalı sonuçların düzeltildiğinde hem fikir olmuşlardır (22).

209 klinik örnek de HLA-B27 ekspresyonu iki renkli immünlüminescen kullanılarak akım sitometride çalışılmışlardır. 7 hatalı pozitif, 169 B27 negatif örnek bulunmuştur. Akım sitometrinin B27 için uygun yöntem olduğu sonucuna varmışlardır (21).

### **3-b) Real Time PCR ile HLA-B27 Saptanması :**

MHC sınıf I lokusunda HLA-B27 antijeninin varlığının tespiti yeni bir yöntem olan Real Time PCR ile yapılabilir. Çalışma materyal olarak DNA kullanılmaktadır.

HLA-B27 antijeni saptanmasında Real Time PCR teknolojisi rutinde kullanılabilecek hızlı yeni bir teknolojidir (31). Burada SYBR Green I boyası ile amplifikasyona bağlı olarak oluşan artışla floresans yoğunluğu ölçülür. Tm noktasına göre HLA-B27 pozitif ve negatif sonuçlar belirlenir. Bu yöntemle HLA-B27 saptanmasını araştıran sınırlı sayıda çalışma bulunmaktadır.

### **3-c) Konvansiyonel SSP-PCR ile HLA-B27 saptanması:**

Konvansiyonel SSP- PCR'da HLA-B alleleri tespit edilir. Çalışma materyali olarak DNA kullanılır. Belirlenen allellerde HLA-B27 varsa birey HLA-B27 pozitiftir. Allellerde HLA-B27 yoksa birey HLA-B27 negatiftir. Güvenilir bir yöntemdir.

İki yıl süresince HLA-B27 tiplemesi için Konvansiyonel PCR-SSP yöntemini kullanmışlardır. Bu süre içerisinde romatolojik rahatsızlıklardan dolayı müracaat eden 1062 hastanın 309 'unda HLA-B27 pozitif bulmuşlardır. SSP-PCR yöntemi rezülasyonu güclü olup güvenilir yöntemdir diye belirtmişlerdir (26).

## **4-) HLA-B27 SAPTAMA YÖNTEMLERİNİN KARŞILAŞTIRILMASI:**

### **4-1) Akım Sitometri ile Real Time PCR Yönteminin Karşılaştırılması:**

150 örnek (41 HLA-B27 pozitif ve 109 HLA-B27 negatif) akım sitometri ve yeni yöntem olan Real Time PCR ile çalışmışlardır. Bu tek tüp Real Time PCR metodunu örnek sayısı yüksek olan laboratuarlarda güvenilir olarak tavsiye etmişlerdir (29).

#### **4-2) Akım Sitometri ile Konvansiyonel SSP-PCR Yönteminin Karşılaştırılması :**

HLA-B27 allellerini Caucasian populasyonunun % 9'unda saptanmıştır ve AS ile güçlü bir uyum sağlar. Akım sitometride elde edilen sonuçların % 3'ünde belirsiz ürün oluşmuştur. Bunun sebebi antikor kross reaksiyonu olmasıdır. 5 yıl süresince 2000' den fazla örnek de net sonuç almışlardır. Oluşan karışık sonuçlar ise gerekli PCR jel elektroforezi ve spesifik alel hibridizasyonu analizi yaparak doğrulamışlardır (23).

#### **4-3) Real-Time PCR ile Konvansiyonel SSP-PCR Yönteminin Karşılaştırılması:**

Her iki yöntemde de HLA-B27 antijeninin tespiti DNA örneğinden çalışılmaktadır. Real Time PCR'da bireyin HLA-B27 antijeninin varlığı belli olur. Konvansiyonel PCR yönteminde ise ilaveten HLA-B lokusunun allellerini belirlenir. Belirlenen bu allellerde HLA-B27 varsa birey HLA-B27 pozitif denir. Real Time PCR'da kapalı sistemde çalışıldığından kontaminasyon riski azdır.

## **YÖNTEM ve GEREÇLER**

Bu çalışma Osmangazi Üniversitesi Tıp Fakültesi Hematoloji Bilim Dalı Moleküller Hematoloji ve (PCR) Doku Tiplendirme Laboratuarlarında yapılmıştır. Çalışmaya 60 olgu alınmıştır. Bu olgulardan 35' i Erkek, 25' i Bayandır. HLA Doku Grubu (PCR) laboratuarında ki SSP-PCR yöntemi ile rutin doku grubu bakılmasında HLA-B27 (+) bulunan 33 ve HLA-B27(-) bulunan 27 olgunun HLA-B27 pozitifliğine Akım sitometri ve Real Time PCR metodlarıyla da bakıldı.

Aşağıda Akım sitometri, Real Time PCR ve Konvansiyonel SSP-PCR ile HLA-B27 antijeninin saptanması ayrıntılı şekilde anlatılmıştır.

### **1-) AKIM SİTOMETRİ İLE HLA-B27 BAKILMASI:**

Bu çalışma için HLA-B27 antijeni bakılacak bireylerden sabah açken K3-EDTA'lı tüpe kan örnekleri alındı. Akım sitometri olarak Facs Calibur (B.D) cihazı ve antikor olarak Coulter immunotech HLA-B27 FITC / HLA-B7 PE iki renkli antikorlar kullanıldı.

#### **Denevin Yapılışı:**

1. Falkon tüplerine HLA-B27 antijeni çalışılacak birevin ismi yazıldı.
2. Tüpün dibine 10 µl double antikordan pipetle dikkatlice konuldu.
3. Antikorun üzerine 50 µl kan örneği konuldu.
4. Tüp vortekslenerek 20 dakika karanlık da inkübasyona alındı.

5. Bu sürenin sonunda üzerine 2 cc lyses ilave edilerek karışım vortexlendi.
6. Lyses ile 10 dakika daha karanlıkda inkübe edildi.
7. Tüp 5 dakika 1800 rpm de santrifüj edildi.
8. Süpernatant dikkatlice döküldü. Pelletin üzerine 2 cc PBS konularak vortexlendi.
9. Tüp 5 dakika 1800 rpm de santrifüj edildi.
10. Süpernatant tekrar dökülp PBS ile yıkama işlemi tekrarlandı.
11. 2. yıkamadan sonra pellet üzerine 250 µl PBS ilave edilerek, pellet süspansiyon edildi.
12. Numune Cell Quest programında okutularak analiz edildi.

## **2-) REAL TIME PCR İLE HLA-B27 BAKILMASI**

Bunun için önce K3-EDTA ’lı tüpe alınan kan örneğinden aşağıda anlatıldığı şekilde DNA elde edildi.

### **2-a) Magnetik Boncuklarla Büyük Hacim DNA İzolasyonu:**

Roche Firmasının MagNA-Pure cihazında Büyük Hacim DNA İzolasyon kiti kullanıldı.

### **Testin Çalışılması:**

1. Cihazın içi çamaşır suyu ile silindi.
2. Önce cihaz sonra bilgisayar açıldı.
3. Örnekler yeni oluşturulan sample file sayfasına kayıt edildi.
4. Çalışma yöntemi olarak büyük hacim seçildi.
5. Kullanılan kan hacimi 500 µl , final hacimi 200 µl olarak belirlendi.
6. Çalışılacak materyal sayısına göre bilgisayarın belirlediği kit içerikleri ilgili yerlere dağıtıldı.

7. Kan örnekleri pipetlendi. Enson olarak manyetik boncuklar hızlı olarak vortexlenerek ilgili kuvvete konuldu.
8. Pipet uçları, örnek kapları cihaza yerleştirildi ve program başlatıldı..
9. Lyses/ binding buffer kan hücrelerini lize ederek DNA'yı açığa çıkardı. Proteinler denatüre oldu.
10. Protein K eklenmesi sonucu hüresel proteinlerin sindirimi başladı.
11. Lyses/ Binding bufferin yüksek iyonik gücü ile manyetik partiküllerin silis yüzeyine DNA yapıştı.
12. Hb gibi PCR inhibitörleri ve hücre membranındaki protein gibi maddeler Wash Buffer I ile uzaklaştırıldı.
13. Tuz konsantrasyonunun düşürülmesi hüresel debrilerin uzaklaştırılması Wash Buffer II ile oldu.
14. Yüksek sıcaklık da pürifiye DNA elde edildi. ( 200 $\mu$ l)

#### **2-b) Real Time Yöntemiyle HLA-B27 Çalışılması :**

Bu çalışmamızda Roche Firmasının ( LCL) Real Time PCR cihazı ve Metis Firmasının HLA-B27 (3. ekson, 135 bç) kiti kullanıldı.

#### **Testin Çalışılması :**

1. Önce cihaz sonra bilgisayar açıldı.
2. Çalışılacak HLA-B27 prosedürü ekranın seçildi.
3. Çalışılacak hastalar sırasıyla kayıt edildi. Son olarak pozitif kontrol yazıldı.
4. Kapiller tüpler buz blok içerisinde yerleştirildi.
5. Kit oda ısısına getirilerek örneklerin çözünmesi beklenildi. Çözünen örnekler kısa süre ve düşük devirde santrifüj edildi.
6. d H2O test başına 3.8  $\mu$ l, Mg Cl 1.2  $\mu$ l, HLAB27 LC Primer mix 1.0  $\mu$ l, HLA-B27 internal kontrol, LC Fast Start DNA Master mix SYBR Green

I 1.0  $\mu$ l olarak hesaplandı, hazırlanan karışımından kapiller tüplere 7  $\mu$ l olarak dağıtıldı.

7. En son 3  $\mu$ l DNA eklendi. Pozitif kontrole Kit deki pozitif kontrol numunesinden konuldu.
8. Kapillerin ağzı sıkıca kapatıldı. 3000-5000 x rpm'de 10 sn santrifüj edildi.
9. Kapiller dikkatlice cihaza yerleştirilerek cihaz programı başlatıldı.

#### **Denev Protokülü :**

1. Denatürasyon ;(1 Cycles , 1 segment , 10 dakika )
2. Amplifikasyon ;( 45 cycles ve 4 segment : 1. segment 10 saniye 95 °C , 2. segment 8 saniye 57 °C , 3. segment 15 saniye 72 °C , 4. segment sıfır saniye ısı 80 °C dir).
3. Melting Curve analiz; ( 1 cycles ve 3 segment . 1. segment 0 saniye 95 °C, 2. segment 15 saniye 75 °C ve son segment 0 saniye 95°C ).
4. Cooling ; ( 1 cycles ve 1 segment . 30 saniye 40 °C) .

Çalışma bittiğinde flouresans kanalı 1/1 ( F1/1) olarak analiz yapıldı. B27 spesifik Tm noktası 90.3 °C +/- 0.2 °C dir.

Çalışma analizinde önce pozitif kontrolün çalışması kontrol edildi. Manuel olarak oluşan pikin ısısı kontrol edildi. Sırası ile çalışılan örnekler oluşan bu pikle çakıştırılarak kontrol edildi. Pozitif kontrolle uyumlu örnekler pozitif olarak değerlendirildi.( Internal kontrol piki ile uyumlu örnekler negatiftir.)

### **3-KONVANSİYONEL SSP-PCR YÖNTEMİYLE HLA-B27 ÇALIŞILMASI:**

Bu çalışmada Techne Genius PCR cihazı, Trans Farma Firmasının Olerup SSP-HLA -A-B-DR Combi Tray Kiti kullanıldı.

#### **Deneyin Yapılışı:**

1. Elde edilen DNA, master mix, Taq Polimeraz , distile su ve HLA-B primeri buz blok üzerine getirildi.
2. HLA-B lokusu konvansiyonel PCR' da 48 kuyudan oluşur. Her kuyu için 2 µl DNA, 3 µl Master mix ( PCR maxter mix'inde d NTP, mMCKI, MgCl<sub>2</sub>, Tris-HCl jelatin, gliserol ve kresol red bulunur. Bu karışım hazır olarak gelir. -20 °C de saklanır. ) 5 µl distile su ve Taq 0.4 unit kullanılır. HLA-B için 106 µl DNA+ 159 µl master mix+ 265µl distile su+ 4.2µl Taq alınarak ependorf tüpünde karıştırıldı.( 48. kuyu kontrol kuyusudur.)
3. Hazırlanan bu karışım vortexlenmiş ve kuyulara 10 µl pipetlendi.
4. Primerlerin ağzı dikkatlice kapatıldı. Termal cycler'in içine yerleştirildi.
5. Termal Cyclerde daha önceden girilmiş olan program seçilerek program başlatıldı.

#### **Termal Cycler Programı :**

1. Denatürasyon;( 1 cycles 94 ° C 2 dakika).
2. Denatürasyon, bağlanma ve uzama ;(10 cycles dan oluşur. Denatürasyon 10 saniye 94 ° C . Bağlanma ve uzama aşaması 60 saniye 65 ° C ).
3. 20 cycles .( Denatürasyon 10 saniye 94 ° C , bağlanma 50 saniye 61 ° C , uzama 30 saniye 72 ° C )

Program bittiğinde primer plağı Termal cycler dan alındı. Daha önceden hazırlanan agaroz jele dikkatlice ekim yapıldı.

### **Agaroz Jel'in Hazırlanması:**

2 gram agaroz, 133 gram % 5' lik TBE solüsyonu içerisinde birkaç taşım mikrodalga da kaynatıldı. Isı 60 ° C ye indiğinde içerisinde 1 damla etidium bromid ilave edildi. İyice karıştırılarak içerisinde taraklar yerleştirilen tanka yavaşça döküldü. Jel donup katılaşınca dikkatlice alınarak elektroforez tankına yerleştirildi. Tankı içinde % 5' lik TBE solüsyonu vardır. Oluşan kuyucuklara Termal cycler dan çıkan ürün dikkatlice pipetlendi. Ekim işlemi bitince elektroforez tankının kapağı kapatıldı. Yaklaşık 20 dakika 100 volt 60 amper akım uygulandı. Sonra jel tank dan alınarak UV (ultraviole) tablasına getirildi. UV tablasında yürüyen kuyular tesbit edildi. Bu arada jelin fotoğrafı çekildi. Tespit edilen kuyular bilgisayarda yüklü olan programdan primerin lot numarasına pozitif kuyular girildi. Bilgisayar hazır programdan HLA-B lokusunun alellerini belirlendi. Elde ki kitap dan bu sonuçlar kontrol edildi

### **Kullanılan İstatistik Yöntem**

Yaptığımız çalışmada elde ettigimiz sonuçların sensitivitesi, spesifitesi, pozitif prediktif ve negatif prediktif değerleri aşağıdaki anlatıldığı şekilde hesaplanarak Osmangazi Üniversitesi Tıp Fakültesi İstatistik Ana Bilim Dalı'nda karşılaştırılmaları yapılmıştır. Sensitivite, spesifite, pozitif prediktif değer ve negatif prediktif değerlerin hesaplanması şekli tablo 3' de gösterilmiştir.

		Gerçek Durum ( Referans )		
		H+	H-	Toplam
Medikal Test	H+	Gerçek Pozitif ( GP =a )	Yalancı Pozitif ( YP=b )	T( T+ )
	H-	Yalancı Negatif ( YN=c )	Gerçek Negatif ( GN=d )	T ( T- )
	Toplam	G ( H+ )=a+c	G( H- )=b+d	N

**Tablo 3 : Sensivite, Spesifite Pozitif Prediktif ve Negatif Prediktif Hesaplama Tablosu**

**Sensitivite ( Duyarlılık ) Oranı :** Gerçekten hasta olan (G (H+)) bireylerinin test tarafından hangi oranda saptanabildiğini belirten bir olasılıktır. Testin gerçek hastaları ortaya çıkarmakta ne kadar duyarlı olduğunu belirtir. Hastalık etkeni var iken bu testin, bu etkeni kesin olarak tanıyalme yeteneğini ölçer (27). Şu formülle hesaplanır:

$$\text{Sensivite} = P(D) = a / (a+c) = GP / (GP + YN)$$

**Spesifite (Özgüllük) Oranı :** Bir testin gerçekten hasta olmayanları ayıratma yeteneğini belirten orandır. Bir kişi değerlendirilen hastalığa yakalanmamış ise bunu kesin olarak ayıratma yeteneğini gösterir (27). Şu formülle hesaplanır.

$$\text{Spesifite} = P(\ddot{O}) = d / (b+d) = GN / (YP + GN)$$

**Pozitif prediktif (Pozitif Tanımlama Oranı) :** Bir testin gerçekten hasta diye nitelediği kişilerin gerçekten ne kadarının hasta olduğunu gösteren orandır (27). Şu formülle hesaplanır.

$$\text{Pozitif Prediktif} = P(PP) = a / (a+b) = GP / (GP + YP)$$

**Negatif prediktif (Negatif Belirleyicilik Oranı) :** Bir testin gerçekten hasta olmadığını belirttiği kişilerin gerçekte hangi oranda sağlam olduğunu gösteren bir orandır (27). Şu formülle hesaplanır.

$$\text{Negatif Prediktif} = P(NB) = d / (c+d) = GN / (YN + GN)$$

## BULGULAR

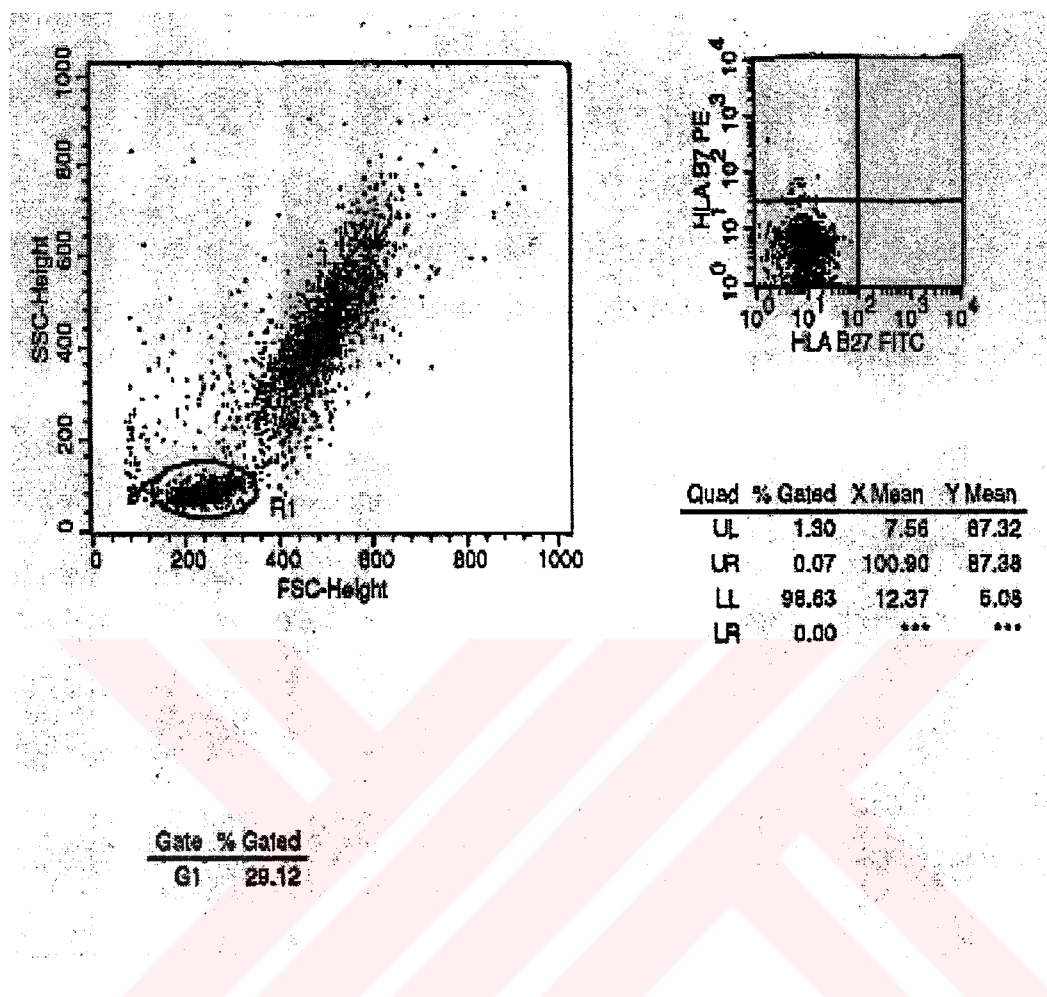
Sıra No	Adı Soyadı	Cinsiyet	Yas	Akim Cytometri	Real Time PCR	Konvansiyonel SSP- PCR
1	F.G	F	28	pozitif	pozitif	B*2702,B*35
2	M.G	M	34	pozitif	pozitif	B*2702,B*35
3	A.G	M	32	pozitif	pozitif	B*2702,B*35
4	K.S	F	30	pozitif	pozitif	B*2702,B*35
5	E.K	F	23	pozitif	pozitif	B*27 ,B*55
6	F.Ö	F	40	pozitif	Negatif	B*27 ,B*35
7	F.U	M	23	pozitif	pozitif	B*27 ,B044
8	H.U	M	12	pozitif	pozitif	B*27 ,B*44
9	İ.U	M	37	pozitif	pozitif	B*27 ,B*44
10	Ü.O	F	38	pozitif	pozitif	B*27 ,B*35
11	N.G	M	37	pozitif	Negatif	B*27 ,B*40
12	E.T	F	14	pozitif	pozitif	B*2702,B*44
13	S.E	F	14	pozitif	pozitif	B*27 ,B*35
14	H.K	F	24	pozitif	pozitif	B*27 ,B*35
15	İ.B	M	23	pozitif	pozitif	B*27 ,B*35
16	Y.Y	M	40	pozitif	pozitif	B*27 ,B*51
17	H.Ö	F	73	pozitif	pozitif	B*27 ,B*54
18	Z.O	F	29	pozitif	pozitif	B*27 ,B*35
19	R.B	M	58	pozitif	pozitif	B*27 ,B*39
20	B.Y	M	60	pozitif	Negatif	B*27 ,B*18
21	M.Ö	M	28	pozitif	pozitif	B*27 ,B*35
22	F.T	F	64	pozitif	pozitif	B*2702,B*13
23	A.K	M	50	pozitif	pozitif	B*27 ,B*35
24	D.İ	F	25	pozitif	pozitif	B*27 ,B*51
25	H.İ	M	23	pozitif	pozitif	B*27 ,B*18
26	Ö.İ	M	25	pozitif	pozitif	B*27 ,B*35
27	A.Ö	M	18	pozitif	pozitif	B*27 ,B*41
28	O.Ö	M	46	pozitif	pozitif	B*27 ,B*50
29	E.Ö	M	23	pozitif	pozitif	B*27 ,B*50

30	H.Ö	M	23	pozitif	Negatif	B027 ,B*52
31	R.B	M	56	pozitif	pozitif	B*2702,B*14
32	H.B	M	54	pozitif	pozitif	B*2702,B*14
33	M.B	M	52	pozitif	pozitif	B*2702,B*14
34	V.H	F	31	Negatif	Negatif	B*08 ,B*44
35	M.K	M	11	pozitif	Negatif	B*51 ,B*55
36	A.Ö	M	41	Negatif	Negatif	B*35 ,B*50
37	R.K	M	27	Negatif	Negatif	B*08 ,B*51
38	G.G	F	36	Negatif	Negatif	B*13 ,B*38
39	A.Ç	M	30	Negatif	Negatif	B*40 ,B*51
40	F.S	F	20	Negatif	Negatif	B*40 ,B049
41	Z.K	F	43	Pozitif	Negatif	B*38 ,B*50
42	H.K	M	52	Negatif	Negatif	B*44 ,B*56
43	M.D	M	45	Negatif	Negatif	B*14 ,B*35
44	E.Ö	M	52	Negatif	Negatif	B*37 ,B*58
45	N.Ö	F	42	Negatif	Negatif	B*41 ,B*50
46	Ü.Ö	M	23	Negatif	Negatif	B*50 ,B*50
47	H.M	M	43	pozitif	Negatif	B*51 ,B*55
48	B.Ş	F	38	Negatif	Negatif	B*35 ,B*51
49	M.T	F	50	Negatif	Negatif	B*07 ,B*38
50	Ü.Y	F	46	Negatif	Negatif	B*07 ,B*51
51	G.S	F	34	Negatif	Negatif	B*07 ,B*51
52	Ö.A	M	54	Negatif	Negatif	B*07 ,B*15
53	H.A	F	51	Negatif	Negatif	B*07 ,B*41
54	H.Ö	M	48	Negatif	Negatif	B*07 ,B*54
55	G.D	F	17	Negatif	Negatif	B*07 ,B*07
56	A.B	M	48	Negatif	Negatif	B*07 ,B*55
57	N.D	F	32	Negatif	Negatif	B*07 ,B*54
58	İ.S	M	61	Negatif	Negatif	B*07 ,B*35
59	T.T	M	31	Negatif	Negatif	B*07 ,B*08
60	Ö.Y	F	24	Negatif	Negatif	B*07 ,B*08

**Table 4:** Akım Sitometri, Real Time PCR ve Konvansiyonel SSP-PCR Olgu Sonuçları.

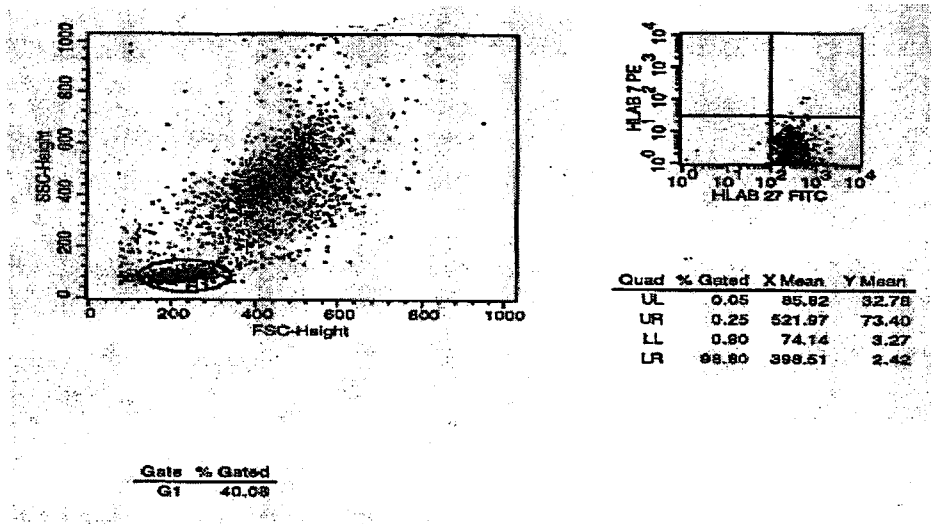
Çalışmamızda Konvansiyonel SSP- PCR' la HLA-B27 pozitif bulunan 33 olgu ile HLA-B27 negatif olarak belirlenen 27 olgunun akım sitometri ve Real Time PCR ile kıyaslaması yapılmıştır. Olguların toplu sonuçları Tablo 4' de gösterilmiştir.

Bu çalışmada ki olguların 35'i erkek, 25'i bayandır. Konvansiyonel SSP-PCR yönteminde HLA-B27 pozitif olan olguların akım sitometri ile değerlendirmesinde; 33 HLA-B27 pozitif olgunun tamamı pozitif olarak tespit edilmiştir. Konvansiyonel PCR' da negatif bulunan 27 olgunun ise; 3' ü şüpheli pozitif, olarak değerlendirilmiştir. HLA-B27(+) olguların HLA-B27(+) liğinin ortalama floresans yoğunluğu  $482,30 \pm 166,76$  iken HLA-B7(+) olan olguların HLA-B27(+) liğinin ortalama floresans yoğunluğu  $243,49 \pm 47,24$  HLA-B27 negatif olgulardaki HLA-B27' nin ortalama floresans yoğunluğu  $143,1 \pm 7,32$  dir. HLA-B27' si şüpheli pozitif olan üç olgunun ortalama floresans yoğunluğu  $224,54 \pm 5,81$  saptanmıştır.

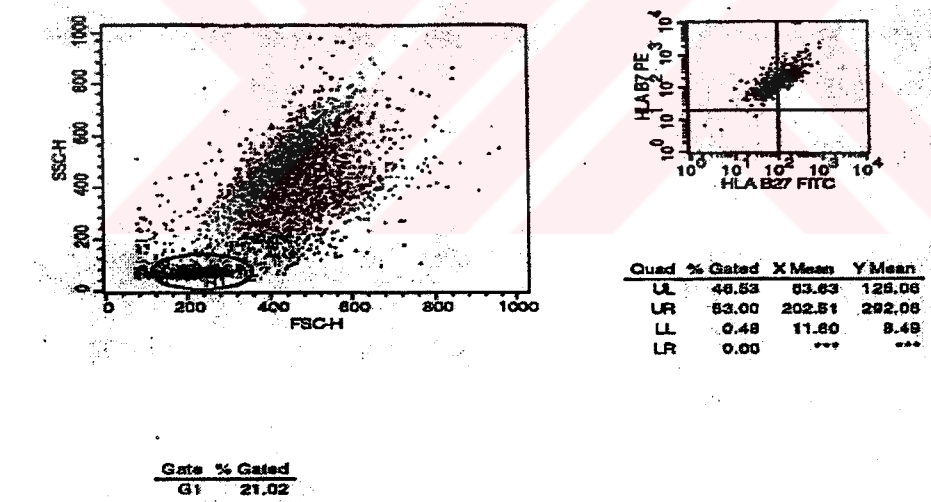


**Şekil 3:** Akım Sitometride Negatif Olgudaki Hücre Dağılımı.

Akim sitometri de çalışılan olgularda negatif olan olguların lenfosit dağılımı yukarıdaki gibi elde edildi. Konvansiyonel SSP- PCR' da HLA-B27 negatif bulunan 27 olgudan 24 tanesinin dağılımı yukarıdaki gibi analiz edildi.

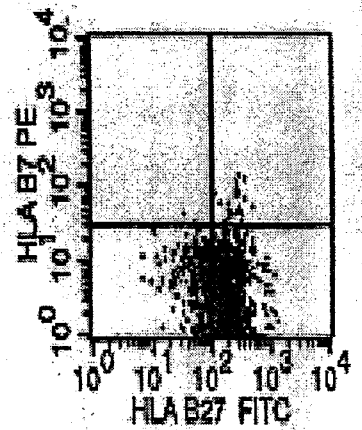
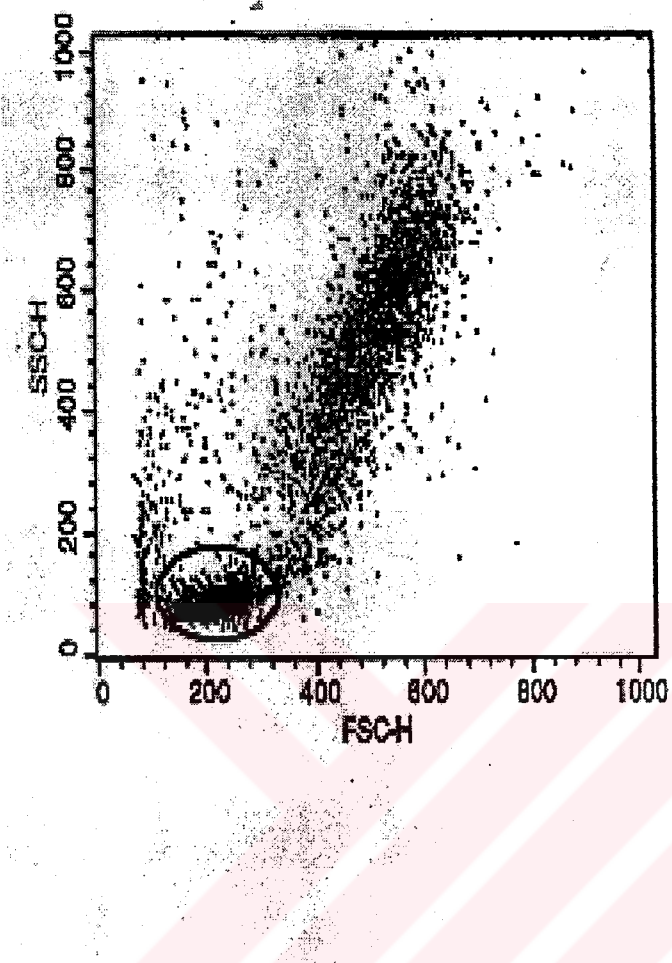


**Şekil 4:** Akım Sitometride HLA-B27 Pozitif Olgunun Hücre Dağılımı.



**Şekil 5:** Akım Sitometride HLA-B7 Alleli Olguların Hücre Dağılımı.

Konvansiyonel SSP-PCR da HLA-B7 alleli bulunan olguların akım sitometride ki hücre dağılımları yukarıdaki gibi görüntülendi.

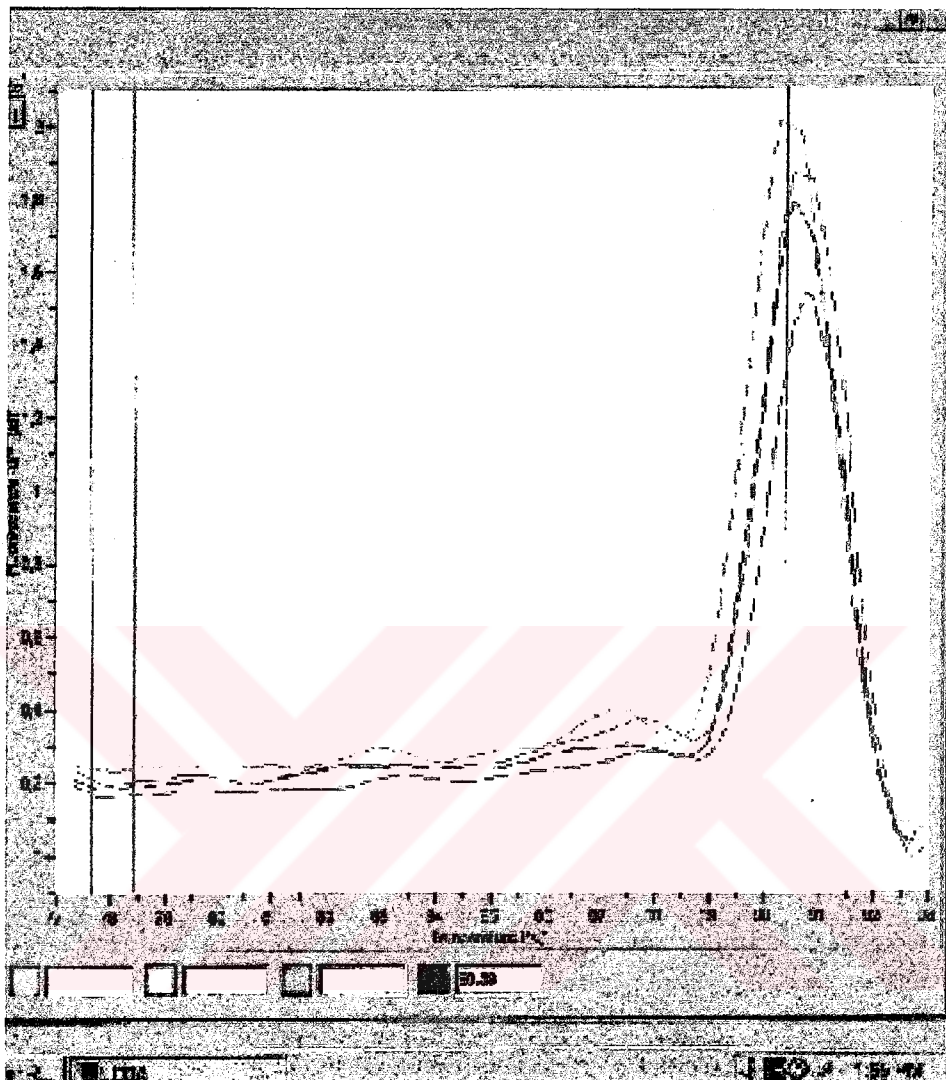


Quad	% Gated	X Mean	Y Mean
UL	0.13	44.10	38.16
UR	1.69	263.79	61.97
LL	22.89	64.75	6.70
LR	75.40	224.85	5.18

**Gate % Gated**  
**G1 31.54**

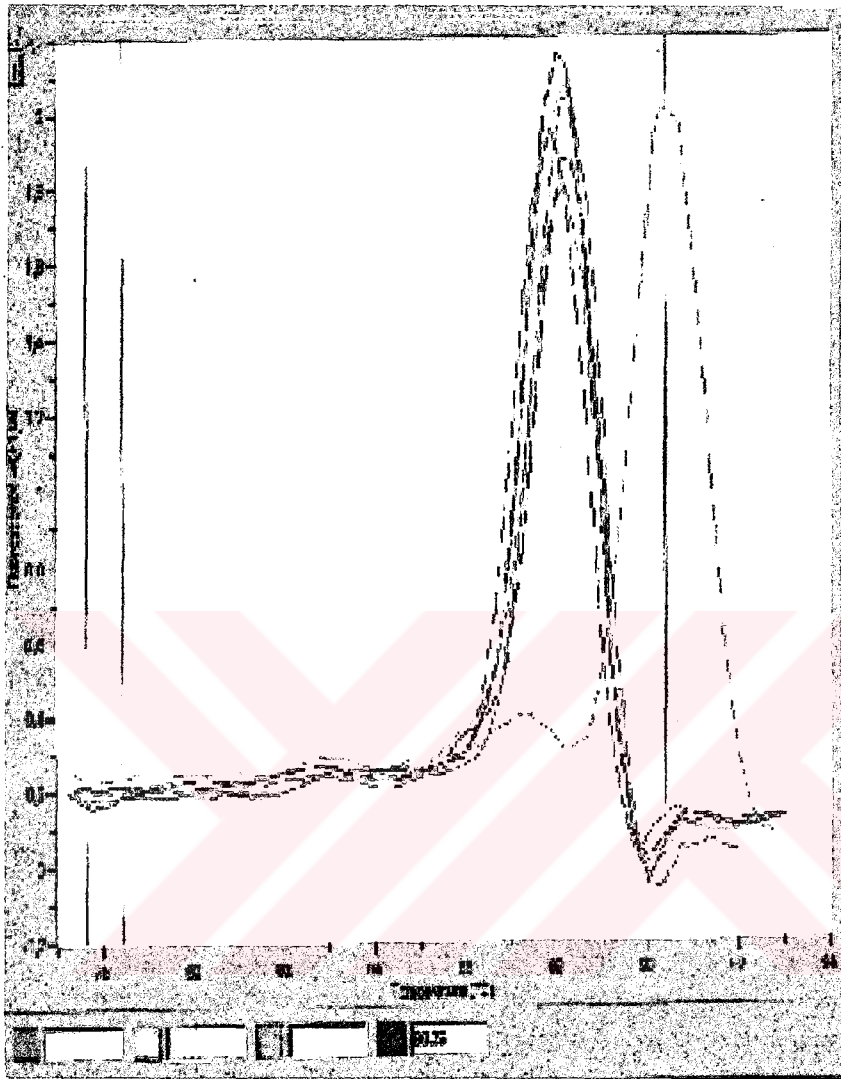
**Şekil 6:** Akım Sitometride HLA-B27 Analizindeki Şüpheli Dağılım.

Konvansiyonel PCR' da HLA-B27 antijeni negatif bulunan olgulardan 3 olgunun Akım sitometrideki lenfosit dağılımı yukarıdaki gibi saptandi.



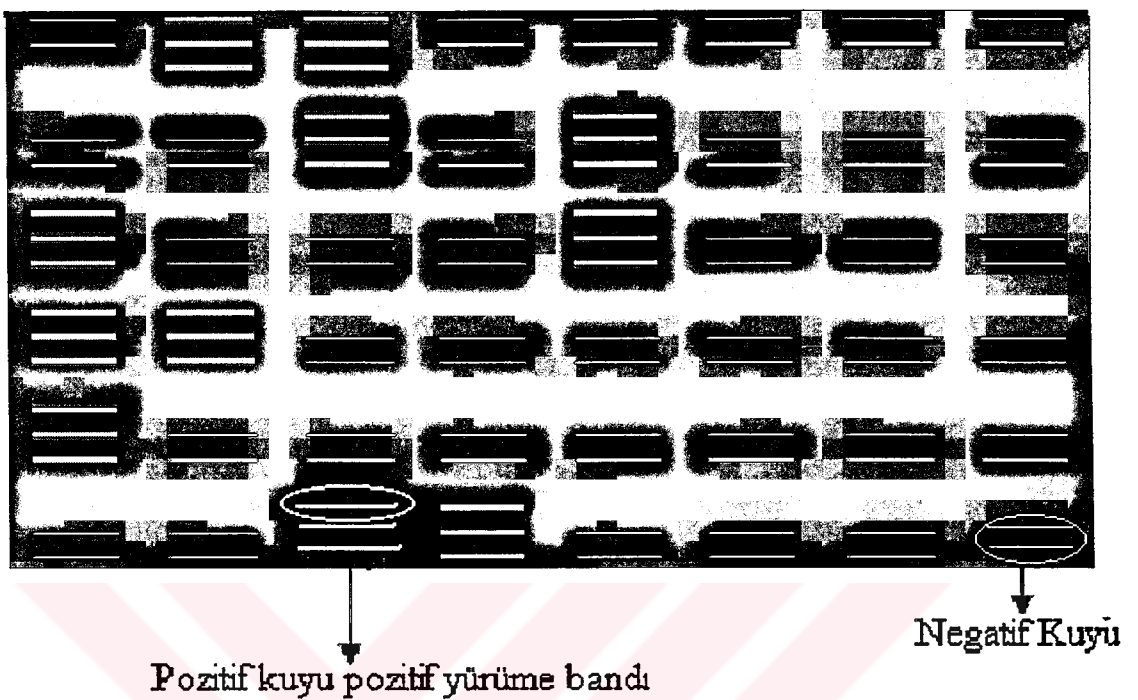
**Şekil 7 : Real Time PCR da HLA-B 27 Pozitif olguların analizi.**

Real Time PCR ile çalışılan olgulardan HLA-B27 pozitif olanların ve pozitif kontrolün oluşturduğu pik yukarıdaki gibi bulundu.



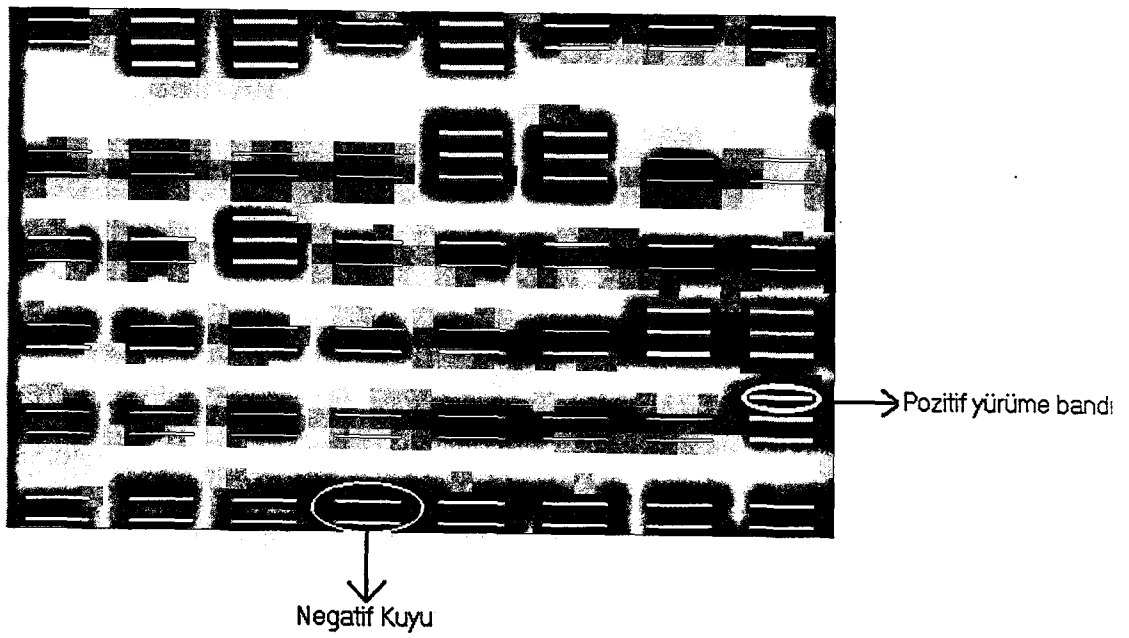
**Şekil 8:** Real Time PCR da Pozitif Kontrol ile Negatif olguların analizi.

Real time PCR da HLA-B27 çalışılan olgulardan negatif olanların oluşturduğu pik yukarıdaki gibi bulundu.



Şekil 9 : Konvansiyonel SSP-PCR’ da HLA-B27 Pozitif Olgunun Jeli .

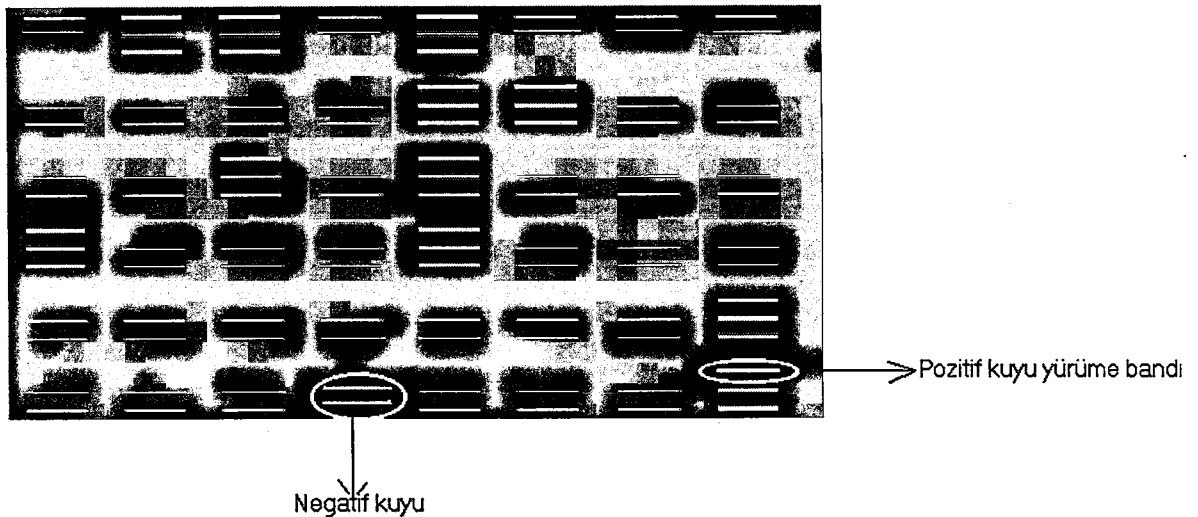
jel 25. kuyudan başlamaktadır. Pozitif kuyular: 29, 30, 40, 47, 48, 52, 56, 60, 62,70 ve 71 nolu kuyulardır.



**HLA-B      B\*35, B\*51**  
 (authorised by O. ogü, 07.05.2004)  
summarised typing interpretation: B\*35 - B\*51      (tolerance 0)  
Tested SSO/SSP Kits:

<b>HLA-B low resolution/K73</b>	entered: 07.05.20 O. ogü
1 <input type="checkbox"/> 2 <input type="checkbox"/> 3 <input type="checkbox"/> 4 <input type="checkbox"/> 5 <input type="checkbox"/> 6 <input type="checkbox"/> 7 <input type="checkbox"/> 8 <input type="checkbox"/>	modified: 07.05.20 O. ogü
9 <input checked="" type="checkbox"/> 10 <input type="checkbox"/> 11 <input type="checkbox"/> 12 <input type="checkbox"/> 13 <input type="checkbox"/> 14 <input type="checkbox"/> 15 <input type="checkbox"/> 16 <input type="checkbox"/>	
17 <input checked="" type="checkbox"/> 18 <input checked="" type="checkbox"/> 19 <input type="checkbox"/> 20 <input type="checkbox"/> 21 <input type="checkbox"/> 22 <input type="checkbox"/> 23 <input type="checkbox"/> 24 <input type="checkbox"/>	
25 <input type="checkbox"/> 26 <input type="checkbox"/> 27 <input type="checkbox"/> 28 <input type="checkbox"/> 29 <input type="checkbox"/> 30 <input checked="" type="checkbox"/> 31 <input type="checkbox"/> 32 <input type="checkbox"/>	
33 <input type="checkbox"/> 34 <input type="checkbox"/> 35 <input checked="" type="checkbox"/> 36 <input checked="" type="checkbox"/> 37 <input type="checkbox"/> 38 <input type="checkbox"/> 39 <input type="checkbox"/> 40 <input type="checkbox"/>	
41 <input type="checkbox"/> 42 <input type="checkbox"/> 43 <input type="checkbox"/> 44 <input checked="" type="checkbox"/> 45 <input type="checkbox"/> 46 <input checked="" type="checkbox"/> 47 <input checked="" type="checkbox"/>	

**Şekil 10 :** Konvansiyonel SSP- PCR' da HLA-B27 Negatif Olgunun Jeli ve Bilgisayar Analizi.



<u>HLA-B</u>	B*07, B*51 (authorised by O. ogü, 23.01.2004)								
summarised typing interpretation:	B*07 - B*51 (tolerance 0)								
<u>Tested SSO/SSP Kits:</u>									
<u>HLA-B low resolution/K73</u>									
1 <input checked="" type="checkbox"/>	2 <input type="checkbox"/>	3 <input checked="" type="checkbox"/>	4 <input type="checkbox"/>	5 <input type="checkbox"/>	6 <input type="checkbox"/>	7 <input type="checkbox"/>	8 <input type="checkbox"/>	entered: 23.01.20	O. ogü
9 <input checked="" type="checkbox"/>	10 <input type="checkbox"/>	11 <input type="checkbox"/>	12 <input type="checkbox"/>	13 <input type="checkbox"/>	14 <input type="checkbox"/>	15 <input type="checkbox"/>	16 <input type="checkbox"/>	modified: 23.01.20	O. ogü
17 <input type="checkbox"/>	18 <input type="checkbox"/>	19 <input type="checkbox"/>	20 <input checked="" type="checkbox"/>	21 <input type="checkbox"/>	22 <input type="checkbox"/>	23 <input type="checkbox"/>	24 <input checked="" type="checkbox"/>		
25 <input type="checkbox"/>	26 <input type="checkbox"/>	27 <input type="checkbox"/>	28 <input checked="" type="checkbox"/>	29 <input type="checkbox"/>	30 <input checked="" type="checkbox"/>	31 <input type="checkbox"/>	32 <input type="checkbox"/>		
33 <input type="checkbox"/>	34 <input type="checkbox"/>	35 <input checked="" type="checkbox"/>	36 <input checked="" type="checkbox"/>	37 <input type="checkbox"/>	38 <input type="checkbox"/>	39 <input type="checkbox"/>	40 <input type="checkbox"/>		
41 <input type="checkbox"/>	42 <input type="checkbox"/>	43 <input type="checkbox"/>	44 <input checked="" type="checkbox"/>	45 <input type="checkbox"/>	46 <input checked="" type="checkbox"/>	47 <input checked="" type="checkbox"/>			

Şekil 11: Konvansiyonel SSP- PCR' da HLA-B7 Bulunan Olgunun Jeli ve Bilgisayar Analizi

Real Time PCR ile yapılan çalışmalarla Konvansiyonel SSP-PCR' da HLA-B27(+) olarak bulunan 33 olgudan 4 tanesi negatif olarak saptandı. Konvansiyonel SSP-PCR' da negatif bulunan olguların tamamını Real Time PCR da negatif olarak tespit edildi. Konvansiyonel SSP-PCR' da HLA-B27 negatif olarak bulduğumuz olguların hiç biri Real Time PCR' da pozitif olarak saptanmadı.

	Konvansiyonel SSP- PCR		
	(+)	(-)	Toplam
Akim sitometri (+)	33	3	36
Akim sitometri (-)	0	24	24
Toplam	33	27	60

$$\text{Neg. Pred.} = 24/24 = \% 100$$

$$\text{Poz. Pred.} = 33/36 = \% 91$$

$$\text{Sensitivite} = 33/33 = \% 100$$

$$\text{Spesifite} = 24/27 = \% 89$$

**Tablo 5 :** Akım Sitometri ile Konvansiyonel SSP-PCR Sonuçlarının Karşılaştırılması.

	Konvansiyonel SSP-PCR		
	(+)	(-)	Toplam
Real-Time PCR (+)	29	0	29
Real-Time PCR (-)	4	27	31
Toplam	33	27	60

$$\text{Neg. Pred.} = 27/31 = \% 88$$

$$\text{Poz. Pred.} = 29/29 = \% 100$$

$$\text{Sensitivite} = 29/33 = \% 88$$

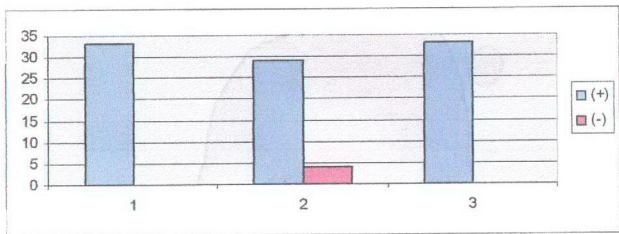
$$\text{Spesifite} = 27/27 = \% 100$$

**Tablo 6 :** Real Time PCR ile Konvansiyonel SSP-PCR Sonuçlarının Karşılaştırılması.

<b>Gruplar</b>	<b>n</b>	<b>ort± B27 ekspresyonu</b>	<b>p</b>
B27(+)	33	$482.3 \pm 166.76$	<0.001
Şüpheli B27(+)/B7(+)	12	$243.49 \pm 47.24$	
B27(+)	33	$482.3 \pm 166.76$	<0.001
B27(-)	27	$143.1 \pm 17.94$	
B7(+)/B27 Şüpheli(+)	12	$243.49 \pm 47.24$	<0.001
B7(-)/B27(-)	27	$143.1 \pm 17.94$	

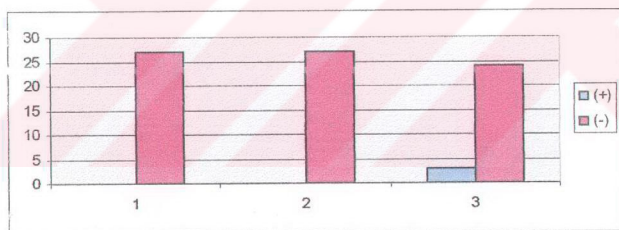
**Tablo 7.** Hücre Yüzeyindeki HLA-B27 Ekspresyonlarının (B27 Pozitif) , (B27 Şüpheli Pozitif / B7 Pozitif), (B27 Negatif / B7 Negatif) Hasta Gruplarında Karşılaştırılması.

HLA-B27 (+) 33 olgunun, HLA-B27 şüpheli pozitif ve HLA-B 7 (+) 12 olgunun hücre yüzeyindeki HLA-B27 ekspresyonunu karşılaştırıldığında  $P < 0.001$  olup fark anlamlı bulunmuştur. HLA-B27 (+) 33 olgunun, HLA-B27(-) 27 olgunun hücre yüzeyindeki HLA-B27 ekspresyonu karşılaştırıldığında  $P < 0.001$  olup fark anlamlı bulunmuştur. HLA-B7(+) olup B27 şüpheli (+) 12 olgunun HLA-B7(-)/ HLA-B27(-) olan 27 olgunun hücre yüzeyindeki HLA-B27 ekspresyonu karşılaştırıldığında  $P < 0.001$  olup fark anlamlı bulunmuştur.



**Şekil 12 :** Konvansiyonel SSP-PCR' daki Pozitif Olguların Akım Sitometri ve Real Time PCR' da Elde Edilen Sonuçların Grafiği.

1. Konvansiyonel SSP-PCR' daki pozitif olguların dağılımı.
2. Real Time PCR' da Konvansiyonel SSP- PCR' a göre pozitif/ negatif olguların dağılımı.
3. Akım sitometride Konvansiyonel SSP- PCR' a göre pozitif olguların dağılımı.



**Şekil 13 :** Konvansiyonel SSP- PCR' daki Negatif Olguların Akım Sitometri ve Real Time PCR' da Elde Edilen Sonuçların Grafiği.

1. Konvansiyonel SSP-PCR' da negatif olguların dağılımı.
2. Real Time PCR' da Konvansiyonel SSP- PCR' a göre negatif olguların dağılımı.
3. Akım sitometride Konvansiyonel SSP- PCR' a göre pozitif/ negatif olguların dağılımı

## TARTIŞMA

Çalışmamızda altın standart test olarak kabul edilen konvansiyonel SSP-PCR yöntemi ile 60 olguda elde ettiğimiz HLA-B27 sonuçlarını; akım sitometri ile elde edilen sonuçlar ve Real Time PCR ile elde ettiğimiz sonuçlarla karşılaştırdık. Pozitif ve negatif HLA-B27 test sonuçlarının sensitivite ve spesifitelerini, pozitif ve negatif prediktif değerlerini Akım sitometri ve Real Time PCR için hesapladık.

Konvansiyonel SSP-PCR yöntemi ile çalışılan 60 olgunun 33 tanesinde HLA-B27 pozitif, 27 tanesinde HLA-B27 negatif olarak saptandı.. Konvansiyonel SSP-PCR da pozitif olarak bulunan 33 olguda akım sitometri ile pozitif olarak bulundu. Konvansiyonel SSP-PCR da negatif bulunan 27 olgudan 3 olgu akım sitometride pozitif saptandı. Akım sitometrik olarak HLA-B27 bakmanın sensitivitesi  $33/33 = \% 100$ , spesifitesi  $24/27 = \% 89$  , pozitif prediktif değeri:  $33/36 = \% 91$  , negatif prediktif değeri:  $24/24 = \% 100$  olarak saptandı. Yalancı negatiflik yok iken, yalancı pozitiflik 3 olguda (% 11) bulundu. Lingenfelter ve arkadaşları yaptıkları 209 olgudaki çalışmada akım sitometrinin sensitivitesini %97.6, spesifitesininide % 95.9 saptamışlardır ve B7, B39, B37 ile kros reaksiyon bulmuşlardır (21). Ayrıca, Lingenfelter ve arkadaşları 169 HLA B27 negatif örneğin 7' sinde yalancı pozitiflik saptamışlardır (21). Ulrich G ise yazısında 300 olguda HLA-B7/HLA-B27 çift renkli analiz yaptıklarında akım sitometri ile yalancı negatiflik bulmadıklarını belirtmişlerdir ve bu çift renkli panelin kullanılmasını önermişlerdir (33).

Akım sitometride yalancı pozitiflik saptadığımız olguların Konvansiyonel SSP-PCR deki HLA-B allellerine baktığımızda iki olgunun (B\*51 , B\*55) allellerine sahip olduğunu belirlendi. Diğer olgunun ise (B\*38, B\*50) allelini taşıdığı belirlendi.Bu doku gruplarının akım sitometride monoklonal antikorlarla kross reaksiyon verdiği düşünüldü ve yalancı pozitifliğin bundan kaynaklandığını düşünüyoruz. Literatürde HLA-B7 nin en fazla kros reaksiyon verdiği belirtilmiştir ve biz bu nedenle iki renkli B7

ye karşıda monoklonal antikor içeren panel kullandık ve olguda B7 monoklonal antikoru koymasaydık bundan kaynaklanabilecek ilave pozitiflik olacaktı. Anti HLA-B7 / HLA-B27 iki renkli antikor kombinasyonu ile kan örneklerinde akım sitometri yöntemiyle HLA-B27 pozitifliği araştırılmıştır. 300 örnekden elde edilen sonuçlar TERASAKİ mikrolenfositotoksitese referans metodu ile karşılaştırılmıştır. HLA-B7 ye karşı monoklonal antikor kullanılmasının akım sitometride oluşan kross reaksiyonların yalancı pozitif değerlendirmesini elimine ettiğini bulmuşlardır (30). Hoffman ve arkadaşları akım sitometri ile HLA-B27 bakarken iki farklı monoklonal antikor kullanmayı önermişlerdir ve HLA-B7 nin kros reaksiyon verdiğiini açıkladılar (12). Bizim bulgularımız da akım sitometri ile HLA-B27 analizinde HLA-B7 ye karşı monoklonal antikorda içeren panel kullanmanın ülkemizde de gerekli olduğunu göstermiştir.

Olgularımızdaki HLA-B27' nin hücre yüzeyindeki pozitifliğinin yanısıra; pozitifliğin kuvvetini gösteren ortalama floreasans yoğunluğunda analiz ettik. HLA-B27(+) olguların ortalama floresans yoğunluğu  $482,30 \pm 166,76$  olarak bulundu. HLA-B7 (+) olguların ortalama floresans yoğunluğu  $243,49 \pm 47,24$  bulundu. HLA-B27 (-) olguların ortalama floresans yoğunluğu  $143,1 \pm 17,94$  bulundu. Şüpheli HLA-B27(+) olguların ise floresans yoğunluğu  $224,54 \pm 5,81$  olarak bulundu. Bu bulgular bize gerçek HLA-B27(+) liğinde HLA-B27' nin hücre yüzeyindeki ortalama floresans yoğunluğunun; HLA-B27 şüpheli pozitif olgulara göre belirgin yüksek olduğunu göstermektedir. Kross reaksiyondaki hücre yüzeyindeki HLA-B27 pozitifliğinin derecesi gerçek HLA-B27' ye göre düşük olduğundan bu olgular kolaylıkla pozitiflik derecesine göre ayırtedilebilmektedir. Bu olguların şüpheli pozitifliğin başka bir testle negatif olduğu kanıtlanması gerekmektedir. Bizim şüpheli olgularımızın tümünde Real Time PCR ve konvansiyel SSP-PCR' da negatifdi ve uyum içerisindeydi. Vardığımız sonuç şüpheli pozitif olgularda hızlı ve doğru sonuç verdiği için Real Time PCR' in bu olgularda kullanılması gerekmektedir.

Toplumlardaki HLA-B antijenlerinin farklı olasılıkda olması nedeni ile her ülkedeki HLA-B27 antijen testinde kross reaksiyon verecek antikorların sıklığının farklı olacağıda beklenen bir durumdur. 50 klinik laboratuarda HLA-B27 akım sitometrik olarak 1995'den beri çalışılmakta olup elde ettikleri verileri yayınlamışlardır(20). Sonuçlar göstermiştir ki HLA-B27 monoklonal antikorlar kross reaktif olarak majör problem oluşturmaktadır. HLA-B antijenlerinin serolojik kross reaktif抗原leri (HLA-B7, B12, B13, B16, B17, B22, B37, B40, B41, B42, B47 ve B48) ve kross reaktif olmayan抗原ler (B5, B8, B14, B15, B21 ve B35) dir. (20,25). Bizim çalışmamız az sayıda olmakla birlikte B\*51, B\*55抗原lerinde ülkemiz için kros reaksiyon veren抗原ler olarak düşünülmesi gerektiğini göstermiştir. Bonnaud ve arkadaşları akım sitometri ile sorun olduğunda, doğru HLA-B27 fenotiplemesi için DNA tiplemesi ile gerektiğinde desteklenmesinin gerekli olduğunu açıklamışlardır(5). Konvansiyonel SSP-PCR ile pozitif olan daha çok sayıda olguda yapılacak akım sitometri HLA-B27 testi ile抗原lerin kros reaksiyon özelliğinin açığa kavuşturulacağını düşünüyoruz.

Konvansiyonel SSP-PCR da pozitif bulunan 33 olgunun Real Time PCR da 29 tanesi pozitif olarak bulunurken 4 olgu negatif olarak bulundu. Konvansiyonel SSP-PCR ile negatif bulunan 27 olgunun tamamı Real Time PCR ile negatif olarak bulundu. Real Time PCR ile HLA-B27 bakmanın sensitivitesi: 29/33=% 88, spesifitesi: 27/27=%100, pozitif prediktif değeri: 29/29=%100, negatif prediktif değeri: 29/33=% 88 olarak saptandı. Yalancı pozitiflik yok iken, yalancı negatiflik 4 olguda (%12) saptandı. HLA-B27 antijeni saptanmasında Real Time PCR teknolojisi rutinde kullanılabilen hızlı yeni bir teknolojidir (5). Burada SYBR Green I boyası ile amplifikasyona bağlı olarak oluşan artışla floresans yoğunluğu ölçülür. Tm noktasına göre HLA-B27 pozitif ve negatif sonuçlar belirlenir. Bu yöntemle HLA-B27 saptanmasını araştıran sınırlı sayıda çalışma bulunmaktadır. Bu teknolojinin avantajı kapalı sistem olmasıdır ve kontaminasyon riski minimaldir. Bu teknoloji Light Cycler PCR (Roche Diagnostics) SYBR Green I boyası(DNA yi bağlar) ni kullanır. Bu metodun dezavantajının spesifik amplifikasyonlardan ayırt edilemeyen nonspesifik amplifikasyonların olması denmektedir (29). Bu metot da canlı hücreye gereksinim yoktur ve DNA yi ekstrakte etmeden önce kan örneğin birkaç gün +4 C'de bekleyebilir.

Akim sitometrik yöntemde laboratuara gelen örneği aynı gün çalışmak gereklidir. Neticelerin yorumlanması kolaydır ve antikorun diğer抗原lerle akım sitometride olduğu gibi cross reaktivitesi yoktur. Konvansiyonel SSP-PCR metoduna göre çok daha kısa sürede fazla sayıda hasta örneği çalışılır. Tüm PCR çalışmalarında olduğu gibi bu yöntemin de en önemli sorunu örnekten örnek kontaminasyon olma riskidir. Taq Man-PCR'da HLA-B27 bakmanın bizim baktığımız Real Time PCR benzeri bir diğer yöntemdir ve yapılan çalışmalarda bu yönteminde hızlı ve güvenilir olduğu açıklanmıştır (29).

Biz laboratuvarımızda Real Time PCR ile HLA-B27 bakmayı optimize edip HLA-B27 tanısındaki değerini saptamaya çalıştık. Real Time PCR yöntemi ile HLA-B27 bakarken yalancı pozitiflik saptamadık. Literatürde yapılan çalışmalarda yalancı pozitifliğin görülmemiş belirtilmektedir. HLA-B27 yi 4 olguda yalancı negatif bulduk. Bu değer literatüre göre yüksek olup az sayıda da olsa yapılan çalışmalarda literatürde sensitiviteninde, spesifite gibi % 100 e yakın olduğu belirtilmektedir. Bizim çalışmalarımızdaki yalancı negatifliğin yöntemin yeni olmasından dolayı DNA eldesindeki acemiliklerden kaynaklandığını düşünüyoruz. Tecrübelerimizin artması bu sorunu ortadan kaldıracaktır. Elde ettiğimiz sonuçlar; Akım sitometride şüpheli pozitiflik saptanan olgularda Real Time PCR metodunun uygulabileceğini göstermiştir.

## **SONUÇ**

Araştırmamızda; Real Time PCR ile HLA-B27 bakmayı optimize ederek HLA-B27 tanısındaki değeri saptamaya çalışılmıştır ve aşağıdaki sonuçlar elde edilmiştir.

- 1- Real Time PCR yöntemi ile; HLA-B27 bakarken yalancı pozitiflik saptanmamıştır, Real Time PCR yönteminde 4 olguda yalancı negatiflik bulunmuştur (%12), Real Time PCR HLA-B27 bakmanın sensivitesi % 88, spesifitesi % 100, pozitif prediktif değeri % 100 ve negatif prediktif değeri % 88 olarak bulunmuştur. Akım sitometrideki şüpheli pozitiflik saptanan olgularda Real Time PCR metodunun güvenle kullanılabilecek bir metot olduğu sonucu elde edilmiştir.
- 2- Akım sitometride; HLA-B27 bakarken yalancı negatiflik saptanmamıştır, Akım sitometride HLA-B27 bakarken 3 olguda yalancı pozitiflik görülmüştür (%11), Akım sitometri ile HLA-B27 bakmanın sensivitesi % 100, spesifitesi % 89, pozitif prediktif değeri % 91 ve negatif prediktif değeri % 100 dür.
- 3- Akım sitometri ile; HLA-B27(+) olgulardaki HLA-B27 ekspresyonu  $482, 30 \pm 166$  olarak bulunurken, HLA-B7(+)/ HLA-B27 şüpheli pozitif (gerçekte HLA-B27 negatif) olgulardaki HLA-B27 ekspresyonu  $243,49 \pm 47$ , HLA-B27(-) olguların HLA-B27 ekspresyonu  $143,1 \pm 17$ , olup aralarında önemli istatistiksel fark saptanmıştır. Bu bulguya göre HLA-B27 ekspresyon miktarının Akım sitometri de HLA-B27 yalancı pozitif olguları ayırt etmek mümkün olmaktadır.
- 4- HLA-B27 antijeninin; HLA-B7 Antijeni ile kross reaksiyon vermesinin yanı sıra HLA-B38, -B50,-B51,-B55 antijenleri ile de kross reaksiyon vermektedir.

## KAYNAKLAR

1. Akkoç N., Klasik Olmayan HLA Moleküller, Bildiri Özетleri Kitabı/ Abstrak Book, HLA SSO ve PRA Uygulaması. IV. HLA Sistemi ve Tranplantasyon İmmünoloji Sempozyomu (Ankara, 15-16 Nisan 2004)
2. Baxter L.A. HLA Testing Using Molecular Genetics Tools , Molecular Genetics in Allen RW and AuBuchon, Molecular Genetics Diagnosis and Research , 81-114 (1995)
3. Benjamin D. Schwartz. The HLA Majör Histocompatibility Complex in clinical immünology principles and pratice . wolume I , 94-111 (1996)
4. Benjamin R., Parhm P, HLA-B27 and Disease: a consequence of inadvertent antigen presentation? In clinics of north America Spondyloarthropathies, Khan A.M . volume18 Number 1 ,11-19 (1992)
5. Bonnaud G, Aupepit C, Preux PM, Cogne M, Drouef M, Optimisation of HLA-B27 testing by asscition of flow cytometry and DNA testing. Clin Rheumatol ;18(1):23-7 (1999)
6. Dalva K. Her Yerde Karşında; Nedir Bu HLA Tiplendirimi? Bildiri Özetleri Kitabı/ Abstrak Book, HLA SSO ve PRA Uygulaması. IV. HLA Sistemi ve Tranplantasyon İmmünoloji Sempozyomu (Ankara,15-16 Nisan 2004)
7. Durmaz D. Uygulamalı Moleküler Mikrobiyoloji , 2. Baskı, 38-41 ,Ankara (2001)
8. Erken E. HLA Ekspresyonu ve İmmun Fonksiyonu, Bildiri Özetleri Kitabı/ Abstrak Book, HLA SSO ve PRA Uygulaması. IV. HLA Sistemi ve Tranplantasyon İmmünoloji Sempozyomu (Ankara, 15-16 Nisan 2004)
9. Gebizlioğlu Ö.L Genetik İstatistik, Bildiri Özetleri Kitabı/ Abstrak Book, HLA SSO ve PRA Uygulaması, IV. HLA Sistemi ve Tranplantasyon İmmünoloji Sempozyomu (Ankara, 15-16 Nisan 2004)
10. Graham R.Taylor Polymerase chain reaction: basic principles and automation.in PCR A Aproctical Approach. ,Mc Pherson, quirke and Taylor G.R 1 (1991)

11. Gülbas Z. Flow Cytometri ( Akım Sitometri) Prensipleri ve Kullanım Alanları, Hematolojide Uygulamalı Hücre Kültür Teknikleri Kurs Kitabı, 108-118 (Trabzon , 20-25 ocak 2003)
12. Hoffman JJ. Janssen WC. HLA-B27 phenotyping with flow cytometry : further improvement by multiple monoclonal antibodies. *Clin Chem.* :43(10):1975-81 – (1997)
13. Horsburgh T, Martin S, Robson AJ. The application of Flow cytometry to histocompatibility testing. *Transpl Immunol* 8(1):3-15 (2000)
14. İkincioğulları A. HLA Espresyon Eksiklikleri, Bildiri Özeti Kitabı/ Abstrak Book, HLA SSO ve PRA uygulaması. IV. HLA Sistemi ve Tranplantasyon İmmünoloji Sempozyomu (Ankara,15-16 Nisan 2004)
15. Janssen WC., Rouwen JA, Hoffmann JJ. Improved flow cytometric method for HLA-B27 typing. *Ann Clin Biochem* :29(pt6) : 663-7 (1992)
16. Kahan B.D and Ponticelli C. Immunogenetics, Histocompatibility, and crossmatching for kidney transplantation in Principles and Practice of Renal Transplantation Majör Histocompatibility Complex : Kyodo Pte Ltd. Singapore; 1-41 (2001)
17. Kılıçturgay K. İmmünoloji 3. Baskı, 53-64, Bursa (2003)
18. Klein J. & Sato A. British of the Majör Histocompatibility Complex Scand.J. Immunol; 47,199-209 (1998)
19. Kuon W., Sieper J. Identification of HLA-B27 restricted peptides in reactive arthritis and other spondyloarthropathies : computer algorithms and fluorescent activated cell sorting analysis as tools for hunting of HLA-B27-restricted chlamydial and autologous crossreactive peptides involved in reactive arthritis and ankylosing spondylitis *Rheum Dis Clin N Am* 29, 595-611 (2003)
20. Levering WH., Wind H Sintnicolaask., Hooijkaas H, Gratama JW. Flow cytometric HLA-B27 screening cross-reactivity patterns of commercially available anti-HLA-B27 monoclonal antibodies with other HLA-B27 antigens. *Cytometry*. ; 54B(1):28-38 (2003)
21. Lingenfelter B, Fuller TC, Hartung L, Hunter J, Wittwer C, HLA-B27 screening by flowcytometry. *Cytometry* 15;22(2) 146-9 (1995)
22. Macardle PJ, Mc Evoy R, Jovanovich S. HLA-B27 exression by flow cytometry: an analysis of 7 years quality assurance data *J Immunol Methods* -21; 243(1-2)51-7 (2000)

23. Michelle A.M. Bon, Arletta van Oeveren- Dybicz and Frank. A.J.T.M Genotyping of HLA-B27 by Real Time PCR without Hybridization Probes. Clin Chem. : 46(7): 1000-2 (2000)
24. Oguz F. HLA-DR ve DP Allellerinin DNA Düzeyinde Belirlenmesi, (Doktora Tezi) İstanbul Ün. Tıbbi Biyoloji ABD ,(İst-1998 )
25. Oguz F. Klasik HLA Antijenleri, Bildiri Özeti Kitabı/ Abstrak Book, HLA SSO ve PRA Uygulaması. IV. HLA Sistemi ve Tranplantasyon İmmünloloji Sempozyumu (Ankara,15-16 Nisan 2004)
26. Oguz F., Diler S., Kılıçaslan T., Güre E., Çarın M. PCR-SSP Yöntemiyle HLA-B27 Sıklığının Araştırılması.(İst Ün.) 5. Ulusal Tıbbi Biyoloji Kongresi Poster, 21-24 Eylül, İzmir (1998 )Özdamar K. SSPS ile biyoistatistik. 5. yenilenmiş baskı 454-455, Eskişehir (2003)
27. Özdamar K. SPSS ile biyoistatistik. Yenilenmiş 5. baskı 454-455 Eskişehir (2003)
28. Sebik F. İmmünloloji Sistemine Genel Bakış, Klinik Romatoloji, Gümüşdiş G., Doğanavşargil E. , 27-33 İstanbul (1999)
29. Sylvain K, Aurelie H, marc M, Christophe R. Rapid screening for HLA-B27 by a Taq man-PCR assay using sequ spesifik primers and a minor groove binder probe, a novel type of trade mark probe. J Immunol Methods 287(1-2):179-86 (2004)
30. Tiemann C.,Vogel A., Dufaux B., Zimmer M., Krone JR., Hagedom HJ. Rapid DNA Typing of HLA-B27 allale By Real-Time PCR using Light Cycler Tecnology. Clin Lab.;47:131-134 (2001)
31. Trapani,J.A.,Vaughan,H.A.,Tait, B.D., Mc Kenzie, I.F.C., ‘Immunoradiometric assay for the rapid detection of HLA-B27’, Immunol.Cell.Biol.,66,215-219 (1988)
32. Turgay M. HLA ve Otoimmun Hastalıklar, Bildiri Özeti Kitabı/ Abstrak Book, HLA SSO ve PRA Uygulaması. IV. HLA Sistemi ve Transplantasyon İmmünloloji Sempozyumu (Ankara,15-16 Nisan 2004)
33. Ulrich G. (Use of flow cytometry for HLA-B27 phenotyping: study of a HLAB7/HLAB27 double marker technique) Immunol ,29(1). 11-4 Paris (1997)

## **ÖZGEÇMİŞ**

Adı Soyadı : Hatice BAŞYİĞİT

Doğum yeri ve tarihi : Eskişehir 1966

Medeni Durumu : Bekar

Öğrenim :

İlkokul : 1973-1977 Barbaros İlkokulu, Eskişehir

Orta Öğrenim : 1977-1983 Tepebaşı Lisesi, Eskişehir

Yüksek Öğrenim : 1985-1987 Uludağ Üniversitesi, SHMY Okulu Tibbi Lab.

1995-1999 Dumlupınar Üniversitesi, Fen Fakültesi, Biyoloji

\* Halen Osmangazi Üniversitesi Tıp Fakültesi Hematoloji Bilim Dalı Doku Tiplendirme (PCR) Laboratuvarında çalışmaktadır.